



مقاله پژوهشی

بررسی شواهد کانی‌شناسی و ژئوشیمیایی برای ارزیابی پتانسیل اقتصادی باطله‌های برجا در معدن روی و سرب انگوران

محمد فلاح^۱، قاسم نباتیان^{۱*} و سعیده قدیمی^۲

(۱) گروه زمین‌شناسی، دانشکده علوم، دانشگاه زنجان، زنجان، ایران

(۲) معدن انگوران، زنجان، ایران

دریافت مقاله: ۱۳۹۸/۰۳/۲۵، پذیرش: ۱۳۹۹/۰۲/۰۹

چکیده

معدن روی-سرب انگوران در غرب استان زنجان و شمال غربی پهنه ماگمایی-دگرگونی سنتدج-سیرجان قرار گرفته است. در این پژوهش از کانی پلی‌مورف ورتزیت، به عنوان کانی معرف و ردیاب برای شناسایی مکان‌های مستعد غنی شده از عناصر فلزی کمیاب استفاده شد. بر اساس این پژوهش، تمرکز اقتصادی عناصر فلزی در معدن انگوران را می‌توان به دو بخش سولفیدی دارای غذی شدگی از عناصر نقره، کادمیم و سلتیوم (بالاتر از عیار حد خود) و باطله‌های کربناته دارای غنی شدگی از عنصر آرسنیک تقسیم کرد. تمرکز برخی از عناصر در فرودیواره شیست این معدن (مانند آهن و به مقادیر کم آرسنیک، کبالت، مس و آنتیموان) در ارتباط با کانی زایی سولفیدی در آنهاست. نتایج بدست آمده از تجزیه ژئوشیمیایی در این پژوهش نشان‌دهنده آن است که تمرکز بالای عناصر فلزی (نقره، کادمیم، سلتیوم، قلع، ایندیم، کبالت و غیره) در بخش سولفیدی معدن انگوران است که تأییدی در ارتباط با تشکیل کانی‌های اسفالریت و ورتزیت به صورت همزیست در نتیجه غنی شدگی از عناصر فلزی کمیاب است. ابانت اصولی عناصر فلزی موجود در باطله‌ها و سایر بخش‌های معدنی بر اساس نوع و میزان غنی شدگی، نه تنها موجب به حداقل رساندن مخاطرات زیست‌محیطی می‌شود؛ بلکه می‌تواند قدمی برای استخراج و بهره‌برداری این عناصر به صورت محصول جانبی باشد.

واژه‌های کلیدی: باطله‌های معدنی، ورتزیت، عناصر کمیاب، پهنه سنتدج-سیرجان، انگوران، زنجان

مقدمه

کشورهای در حال توسعه مانند کشور ایران، با فعالیت‌های بیشتر افزایش نیازمندی به مواد معدنی با توجه به رشد اقتصادی و استخراج معادن و در نتیجه ایجاد حجم عظیمی از باطله‌های معدنی رویه‌رو شوند. ایجاد زمینه و راه کارهای اقتصادی برای کسب جایگاه مناسب در جامعه جهانی سبب شده است تا

می‌تواند از لحاظ اقتصادی سودمند و قابل بازفرواری باشند. با توجه به احتمال حضور عناصر بالقوه اقتصادی از جمله نقره، کادمیم، سلنیوم، آرسنیک، نیکل، کالت و غیره در باطله‌های این معدن، بررسی پراکندگی و تمرکز عناصر کمیاب در باطله‌های معدن انگوران می‌تواند به عنوان کمکی برای توسعه اقتصاد معدن انگوران و آگاهی از میزان و پراکندگی عناصر سمی در محدوده معدنی در نظر گرفته شود؛ زیرا رهاسازی باطله‌های حاصل از معدن کاری که حاوی غلظت‌های بالایی از فلزات سمی مانند آرسنیک، کادمیم و سلنیوم هستند که می‌تواند برای روستاییان ساکن در محدوده معدنی به شدت خطرناک باشد.

معدن روی-سرب انگوران از آن دسته معادنی است که باطله‌های معدنی بدون نظم و تنها با در نظر گرفتن اولین و نزدیک‌ترین مکان از لحاظ دسترسی، به صورت کوه‌هایی از انواع باطله با تنوع وسیع عناصر کمیاب اباشته شده است. نفوذپذیری بالای شیست‌ها (با توجه به اینکه شکستگی‌های زیاد در این واحد و همچنین در اثر معدن کاری، بخش زیادی از این سنگ‌ها در معرض هوا فرار گرفته‌اند) می‌تواند زمینه لازم برای تحرک سیالات و شسته‌شدن عناصر را در این معدن فراهم کند. هوازدگی کانی‌های موجود در بخش‌های اباشت باطله همچون کمیاب می‌شود که می‌تواند موجب آسودگی شدید خاک‌ها و آب‌های اطراف با توجه به نزدیکی معدن به روستاهای موجود در منطقه شود. طبق بررسی‌های انجام‌شده، در معدن انگوران سه عنصر کمیاب یعنی آرسنیک، سلنیوم و کادمیم که هر کدام به نوبه خود از عناصر اصلی در بروز بیماری‌های زمین‌زاد هستند، تجمع بالایی را به خود اختصاص می‌دهند.

زمین‌شناسی

کهن‌ترین واحد شناخته شده در منطقه مورد بررسی شامل سنگ‌های دگرگونی میکاشیست و کوارتزیت به رنگ سبز-خاکستری است که در زیر یک افق ۵۰ تا ۱۰۰ متری آهک و

بهربداری مواد معدنی از این باطله‌ها با توجه به امکانات موجود، می‌تواند زمینه‌ساز و کمک حال اقتصادی کشور برای توسعه و رشد بیش از پیش شوند. از این‌رو، با توجه به تغییر موقعیت جهانی یادشده، باطله‌هایی که بسیار ارزش قلمداد می‌شوند، می‌توانند در زمینه‌هایی همچون بهبود فناوری، ایجاد بازار مناسب برای کسب درآمد، ایجاد زمینه شغلی و از همه مهم‌تر، افزایش قیمت فلزات در نتیجه بازفرواری از باطله‌ها، ارزشمند به شمار آیند.

کانسار روی-سرب انگوران بر طبق گزارش‌های ارائه شده در دسته کانسارهای دماپایین قرار می‌گیرد که در غرب استان زنجان و بخش شمال‌غربی ایران قرار دارد (Sadeghi Bojd and Moore, 200 Maanijou and Salemi, 2015; Maanijou and Khodaei, 2018; Ahrabian Fard, 2019). در این منطقه کانه‌زایی‌های مختلفی از جمله آهن، کرومیت و طلا روی‌داده است (and).

منطقه مورد بررسی از لحاظ تقسیمات پهنه زمین‌شناسی-ساخترای ایران، در بخش شمال‌غرب پهنه دگرگونی-ماگمایی سنترج-سیرجان که در ارتباط با کوه‌زاد زاگرس است، قرار گرفته است. روند کانی‌سازی در کانسار انگوران را می‌توان به دو بخش کانسنگ هیوژن (سولفید-کربنات) و کانسنگ سوپرژن (کربنات) طبقه‌بندی کرد (Daliran et al., 2013).

در این پژوهش از کانی پلی‌مورف ورتیت، به عنوان کانی معرف و ردیاب برای شناسایی مکان‌های مستعد غنی‌شده از عناصر فلزی کمیاب استفاده شد. ورتیت یکی از پلی‌مورف‌های اصلی اسفالریت به شمار می‌رود و می‌تواند غنی‌شده‌گی نسبت به برخی از عناصر کمیاب داشته باشد. در واقع پلی‌مورف ورتیت زمانی تشکیل خواهد شد که غنی‌شده‌گی قابل توجهی از عناصر کادمیم، گالیم، ژرمانیوم، آهن در محیط حضور داشته باشد (Ueno et al., 1996; Bonnet et al., 2016). با توجه به وجود این پلی‌مورف ورتیت در کانسار انگوران، در این پژوهش از این کانی به عنوان کانی معرف استفاده شده است. به دلیل فعالیت‌های معدن کاری در معدن انگوران، مقدار زیادی باطله در این معدن تولید می‌شود که

آتشفشاری الیگومیوسن، بر روی واحدهای آهکی و یا کنگلومارایی و ماسه‌سنگ سازند قرمز زیرین قرار گرفته‌اند. برش‌های هیالوکلاستی به رنگ سبز-خاکستری دارای قطعاتی از گدازه‌های آندزیتی به اندازه ۰/۱ تا ۰/۲ متر و دارای ساخت بالشی هستند (Pirkharrati and Farhadi, 2014) که در مناطق واقع در حدود ۵ کیلومتری ورودی معدن قابل مشاهده هستند. بخش‌های برشی این واحد در اثر فرسایش به صورت ستون‌های بلند ایگنیمیریت همانند دودکش نمایان است.

بخش جنوبی معدن انگوران مجموعه‌ای از سیل و دایک‌ها با ترکیب بازالت-دیاباز، به صورت گدازه‌های منشوری رخمنون دارد که در داخل واحدهای توفی نفوذ کرده و اغلب باعث قطع شدگی این واحدها شده است (شکل C-۲). این گدازه‌های منشوری اغلب مشکل از پلازی و کلاز و پیروکسن با بافت ساب‌افتیک هستند. از نهشته‌های منسوب به دوره کواترنری نیز می‌توان پادگانه‌های آبرفتی قدیمی و جوان، مخروطافکنه و رسوبات آبرفتی جوان رودخانه‌ای اشاره کرد. افزون بر این موارد، نهشته‌های گستردگی از تراورتن در منطقه دیده می‌شود که حاصل از فعالیت چشممه‌های آهکساز در زمان کواترنری هستند (Pirkharrati and Farhadi, 2014).

رسوبات کربناته چشممه‌های آهکساز، به رنگ سفید تا شیری و زرد بوده و ضخامت آنها به بیش از ۱۰۰ متر نیز می‌رسد که در بخش‌های جنوب‌شرقی معدن در محدوده شهرک انگوران رخمنون دارد. در حوالی ۸ کیلومتری ورودی به معدن، نشانه‌هایی از فعالیت معدنی برای استخراج تراورتن مشاهده می‌شود (شکل D-۲).

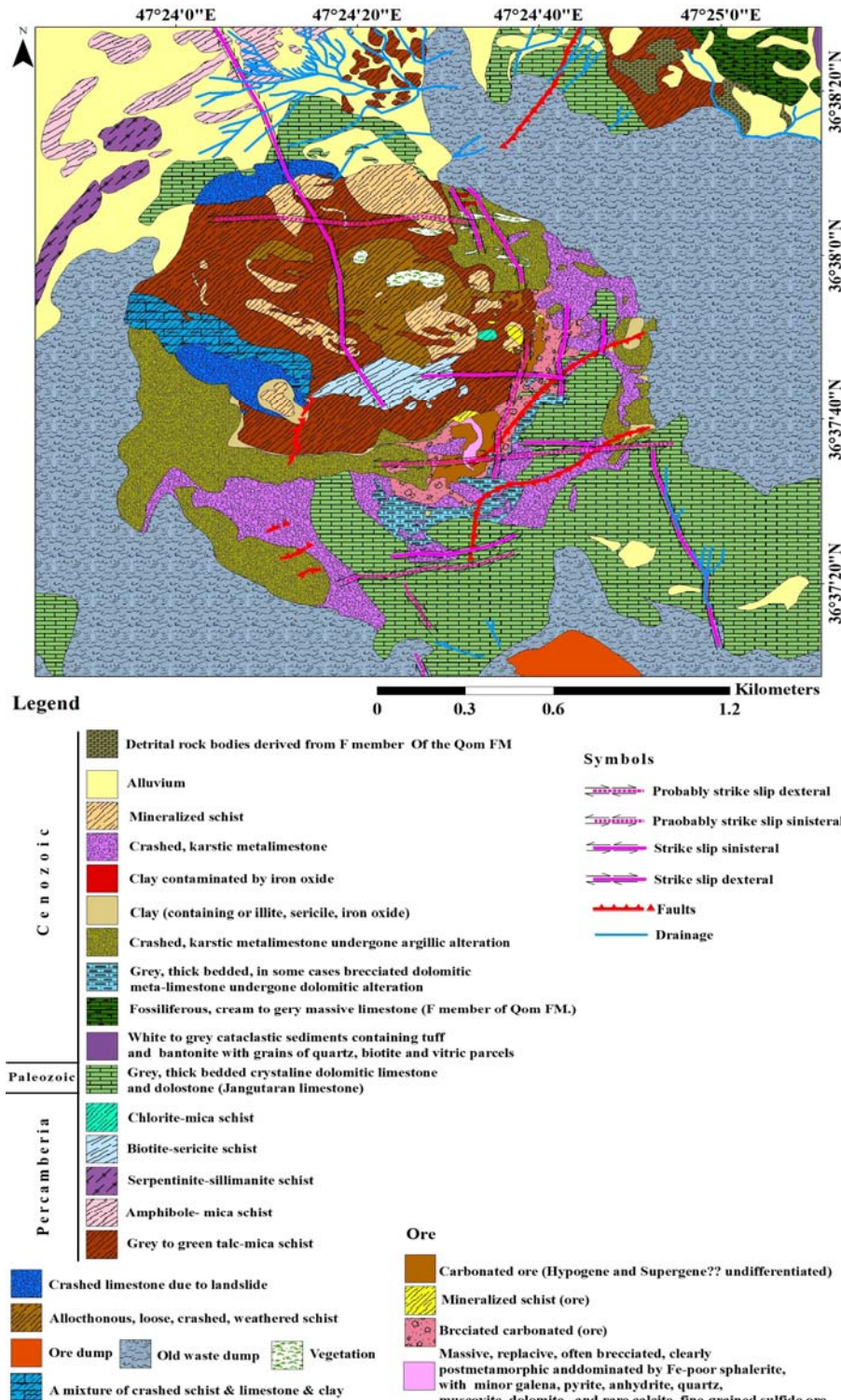
نمونه‌برداری و روش‌های آزمایشگاهی

در این پژوهش، ضمن بازدید صحرایی از بخش روباز معدن انگوران، با رسم هفت مقطع عرضی و عمود بر کانه‌زایی به گونه‌ای که در برگیرنده تمامی بخش‌های محدوده روباز معدنی باشد، تعداد ۳۰ نمونه شامل تمامی بخش‌های روباز معدنی اعم از شیسته‌های فرودیواره، بخش کانه‌زایی و فرادیواره کربناته (مرمر) نمونه‌برداری شد (شکل ۳).

دولومیت مرمری شده (مرمر جانگوتاران) و در هسته طاقدیس کوه لعل کان و کوه گور گور نمایان شده‌اند (Pirkharrati and Farhadi, 2014). این واحدهای شیستی بخش فرودیواره معدن را تشکیل می‌دهند که هم از سازند کهر به سه سن Babakhani and Ghalamghash, (1990). واحدهای شیستی اغلب تحت تأثیر فرایندهای زمین‌ساختی موجود در منطقه قرار گرفته‌اند. در برخی از مناطق، در داخل این واحدها کانه‌زایی به صورت رگه‌های سولفیدی رخداده است که اغلب هم جهت شیستوزیته هستند. یک واحد ستربر مرمر و دولومیت متبلور خاکستری روشن تا خاکستری تیره بر روی سنگ‌های دگرگونی میکاشیست و اولترابازیک‌های دگرگون شده، با لایه‌بندی متوسط تا ضخیم ۵۰ تا ۳۰۰ متر رانده شده که در منطقه با عنوان مرمر جانگوتاران نام‌گذاری شده است (Pirkharrati and Farhadi, 2014). این واحد بخش فرادیواره معدن روب و سرب انگوران را تشکیل می‌دهد که حجم اصلی کانه‌زایی کربناته به صورت اسمیت‌زونیت، در این واحد دگرگونی تشکیل شده است (شکل های ۱ و ۲).

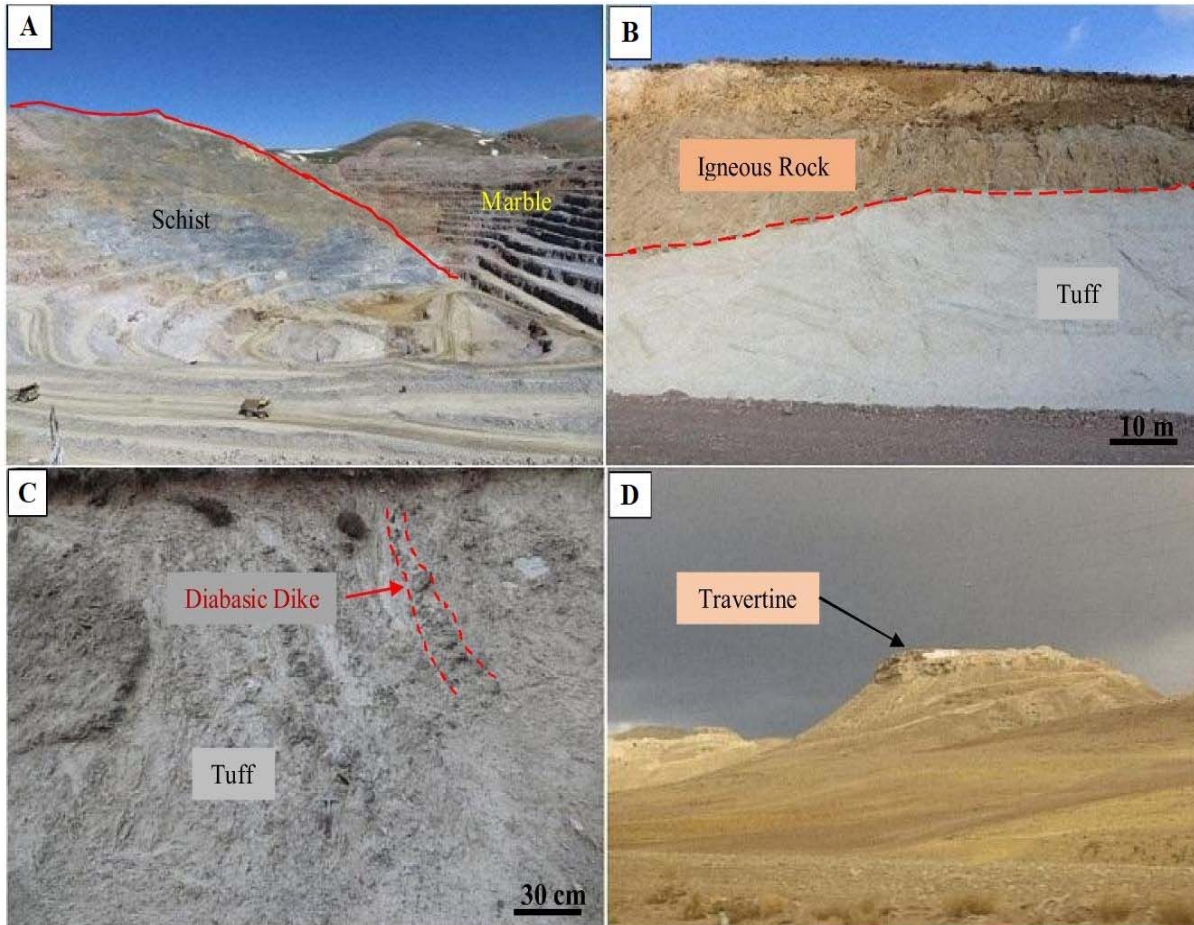
بیشترین تنوع لیتلوژی و فراوان‌ترین سنگ‌ها و سازندهای منطقه، مربوط به دوران سنوزوئیک است. سنگ‌های مرتبط با این بازه زمانی، معمولاً بر روی سازندهای قدیمی‌تر به صورت دگرگشی زاویه‌دار قرار گرفته‌اند (شکل B-۲). از نظر گسترش نوع سازندها در این منطقه، گسترش وسیعی از پوشش توده‌های رسوبی، آذرین و آذرآواری دیده می‌شود که در زمان Pirkharrati and Miosun شکل گرفته‌اند (Farhadi, 2014).

سنگ‌های فراغی ر محدوده معدنی انگوران را سنگ‌های دگرگونی پر کامبرین پسین-کامبرین پیشین تشکیل می‌دهند که در پاره‌ای نقاط توف‌های سفید و آهک مربوط به سازند قم، آنها را پوشانده‌اند. در داخل سنگ‌های یاد شده استوک‌ها و دایک‌هایی با ترکیب آندزی بازالت با سن میوسن-پلیوسن نفوذ کرده است (Ghorbani, 2008). اغلب واحدهای سنگی



شکل ۱. نقشه زمین‌شناسی معدن روی و سرب انگوران با تغییرات جزئی از رحیمی (Rahimi, 2016)

Fig. 1. Geological map of the Angouran Zn-Pb mine (modified after Rahimi, 2016)



شکل ۲. تصاویر مربوط به واحدهای سنگی موجود در منطقه معنده انگوران. A: دورنمایی از بخش روباز معنده انگوران و فرودیواره شیست و فرادیواره مرمر (جهت دید شمال غرب)، B: واحد توف سفید رنگ قرار گرفته در زیر سنگ‌های آتش‌شانی الیکومیوسن، C: توف‌های سنوزوئیک که توسط دایک‌های دیابازی قطع شده‌اند و D: نهشته‌های تراورتن به سن کواترنری در ۸ کیلومتری ورودی معنده انگوران (جهت دید شمال غرب)

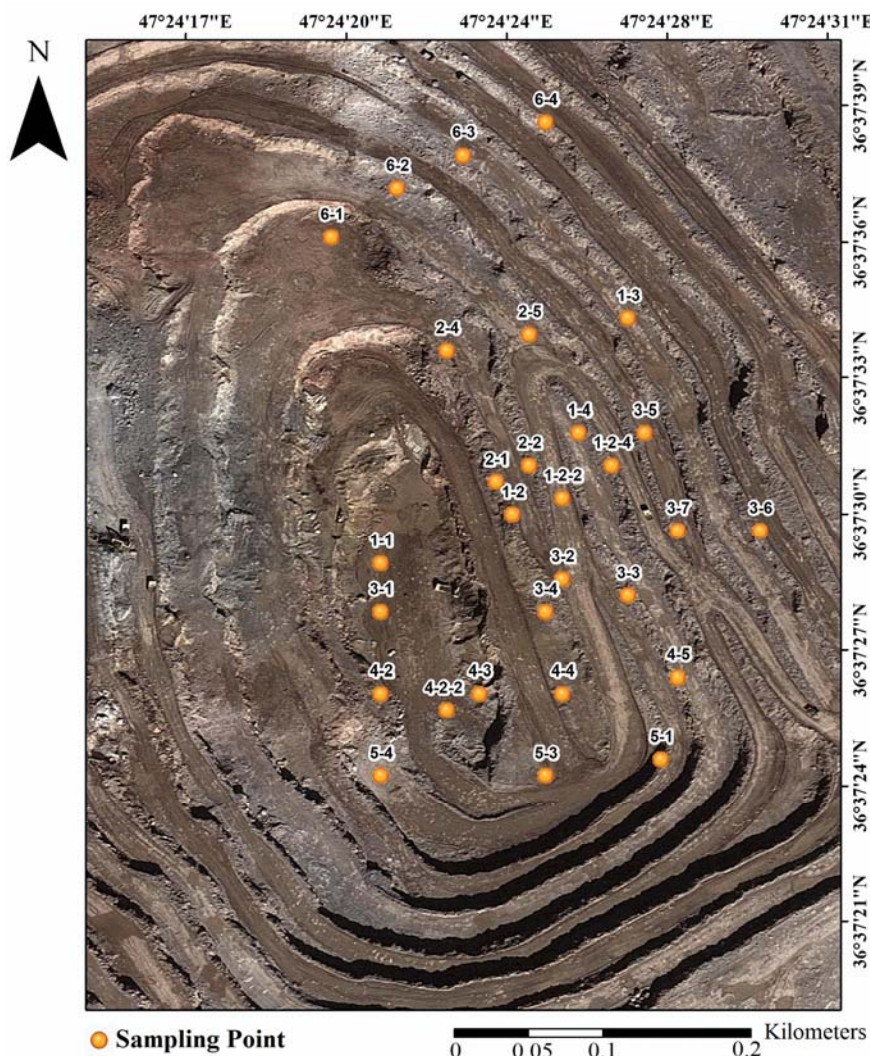
Fig. 2. Images of rock units in the Angouran area. A: The prospect from open-pit part of the Angouran mine with footwall schist and hanging-wall marble (View direction to NW), B: The white tuff unit is located under the Oligo-Miocene volcanic rocks, C: The Cenozoic tuffs which are cross-cutted by diabase dikes, and D: Travertine deposits with Quaternary age at the 8 km to the entrance of Angouran mine (View direction to NW)

انجام شده است. در این روش، نمونه‌ها با فلاکس متا و تترابورات (ذوب قلایی) در بوته‌های پلاتین محلوت شده و سپس در کوره تا ۱۰۰۰ درجه سانتی گراد ذوب می‌شوند. سپس نمونه‌های ذوب شده در محلول اسیدی اسید نیتریک قرار می‌گیرند و محلول به دست آمده توسط دستگاه ICP-OES XRF در زمان مطالعه ۱۰ تا ۸۰ دقیقه و مدت زمان کانت آن برابر با ۵٪ بوده است. تجزیه ژئوشیمیایی اکسیدهای اصلی با استفاده از دستگاه ICP-OES

پس از تهیه نمونه‌های میکروسکوپی از نمونه‌های برداشت شده تمامی ۳۰ نمونه پس از خردایش و نرمایش برای انجام تجزیه ICP-OES و ICP-MS به آزمایشگاه زرآزمایی و یک نمونه برای انجام طیف‌سنج XRD به آزمایشگاه دانشگاه زنجان ارسال شد. زاویه پراش دستگاه XRF در زمان مطالعه ۱۰ تا ۸۰ درجه و مدت زمان کانت آن برابر با ۵٪ بوده است. تجزیه ژئوشیمیایی اکسیدهای اصلی با استفاده از دستگاه ICP-OES

از ۱ درصد تا حداقل ۵ درصد بوده است. برای تفسیر داده‌های ICP-MS و رسم نقشه‌های پراکندگی و شبکه‌بندی Kriging از نرم‌افزارهای Geosoft، ArcGIS، X'pert high score، Excel plus و استفاده شد.

توسط چهار اسید (هیدروکلریدریک، پرکلریدریک، نیتریک و هیدروکلریدریک) هضم می‌شوند. هضم نمونه‌ها در محفظه Hot Box در دمای ۲۲۰ درجه سانتی‌گراد و به مدت چهار ساعت انجام می‌شود. میزان خطای دستگاهی در این روش کمتر



شکل ۳. تصویر مربوط به جای مکان نمونه‌برداری انجام شده از بخش رویاز معدن انگوران است.

Fig. 3. The location of sampling points in the open-pit part of the Angouran mine.

فرادیواره مرمر و فرودیواره شیست تشکیل شده است. کانی‌زایی در این معدن از شیستهای دگرسان شده تا واحدهای مرمر

کانه‌زایی
کانسار انگوران به صورت ساختاری برشی در مژبین راندگی

پیریت‌های نسل دوم و سوم با بافت توده‌ای و دانه پراکنده، گالن‌های نسل اول به صورت بافت توده‌ای و دانه پراکنده و نسل دوم با بافت رگچه‌ای و دانه‌پراکنده و همچنین کانی آرسنوبیریت که اغلب به صورت توده‌ای است و کانی‌های کربنات‌های همچون اسمیت‌زونیت با بافت شانه‌ای و کلسیت و همچنین تشکیل کانی کوارتز اشاره کرد (شکل ۵-A, B, C, D, E و F). یک گروه رگچه‌های پیریت در مراحل پایانی کانه‌زایی در این کانسار تشکیل شده است (Marangi, 2017).

از جمله کانی‌های تشکیل شده در بخش سوپرژن معدن انگوران نیز می‌توان به دو نسل متفاوت از اسمیت‌زونیت‌ها اشاره کرد. آن دسته از اسمیت‌زونیت‌هایی صورتی رنگ که حاوی ناخالصی Fe-oxyhydroxides هستند، در مقاطع میکروسکوپی به صورت بلورهای دانه‌درشت و خوش‌وجه، با بافت توده‌ای (شکل ۵-G) و اسمیت‌زونیت‌های خالص و سفید تا قهوه‌ای رنگ در مقاطع میکروسکوپی با بافت توده‌ای، اغلب ریز تا متوسط‌بلور قابل مشاهده هستند (شکل ۵-H).

از دیگر کانی‌های تشکیل شده در بخش کانسنگ سوپرژن می‌توان به کانی همی‌مورفیت با ساخت جعبه‌ای و در مواردی به صورت توده‌ای، کانی میمتیت به صورت تجمعی از بلورهای سوزنی زرد رنگ و کانی سروزیت به صورت بلورهای سوزنی اشاره کرد. در نهایت، مخلوطی از کانی‌های به شدت اکسیدشده کربنات روی از جمله کانی‌های اسمیت‌زونیت و همی‌مورفیت، موجب تشکیل کالامین‌های نرم و سفید رنگ با بافت توده‌ای، در بالاترین بخش کانسار انگوران شده است.

ژئوشیمی

برای بررسی روند توزیع و پراکنده‌گی عناصر اصلی و فرعی در بخش رویاز معدنی و درک درست از تغییرات عناصر، با رسم هفت مقطع عرضی و عمود بر کانه‌زایی به‌گونه‌ای که در برگیرنده تمامی بخش‌های محدوده رویاز معدنی باشد (باطله و ماده معدنی)، به صورت بر جا نمونه‌برداری انجام شد که اطلاعات نمونه‌های برداشت‌شده در جدول ۱ و موقعیت

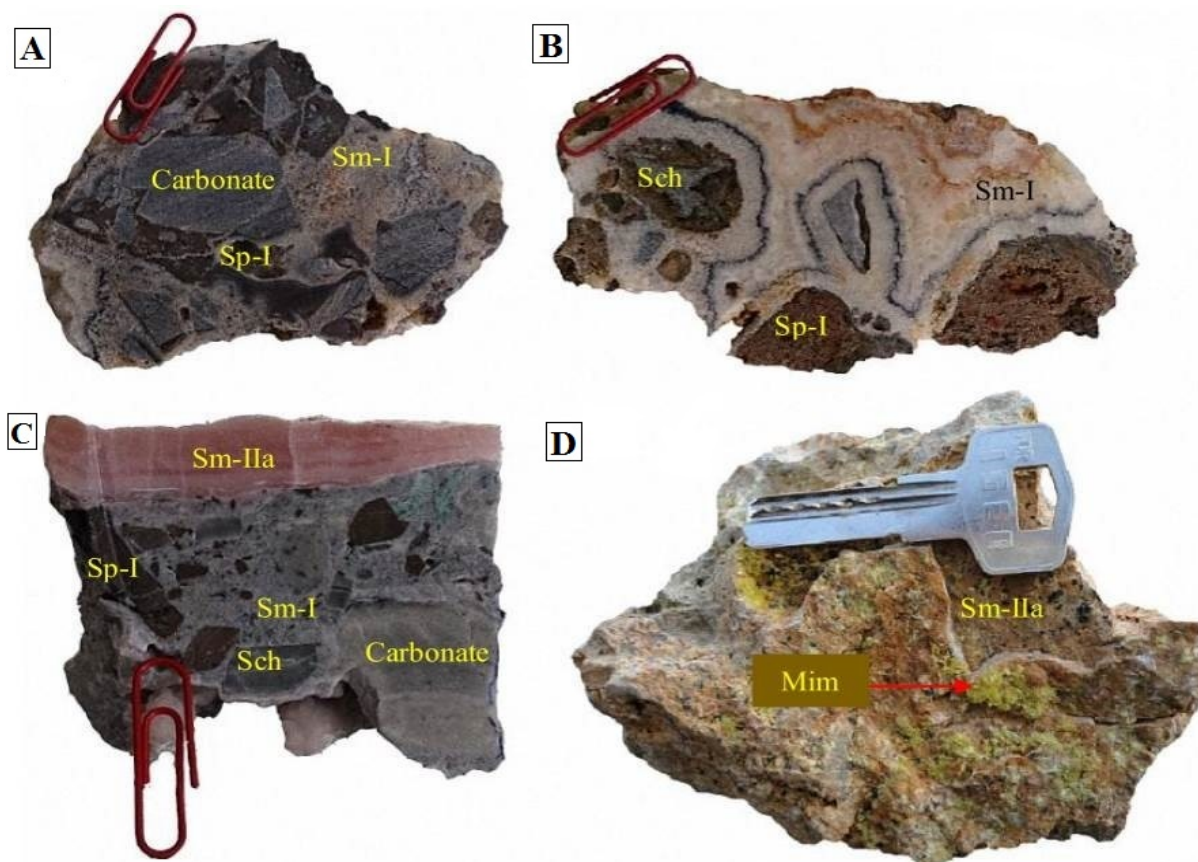
رانده‌شده، ادامه دارد. چنان‌که ذکر شد، کانه‌زایی در کانسار انگوران در طی دو مرحله هیپوژن و سوپرژن تشکیل شده است (شکل ۶-A). کانی‌زایی هیپوژن در کانسار انگوران به صورت فازهای متوالی سولفیدی و کربناته روی‌داده است. کانی‌زایی در ابتدا به صورت پیریت‌های نسل اول با بافت رگچه‌ای و اغلب به صورت قطع کننده روند شیستوتزیته در داخل سنگ‌میزان کوارتز شیست‌ها تشکیل شده است. روند کانی‌زایی با تشکیل حجم عظیمی از کانی‌های سولفیدی ادامه‌یافته است که به دلیل ایجاد فشار هیدرولیکی، موجب برشی‌شدن سنگ‌میزان شده و به صورت قطعاتی در داخل بخش سولفیدی قرار گرفته‌اند (شکل ۶-A و B).

روند کانی‌زایی هیپوژن به صورت سیالات کربنات‌دار ادامه‌یافته است. این سیالات با کانی‌زایی اسمیت‌زونیت با بافت توده‌ای و رگچه‌ای موجب قطع و برشی‌شدن کانی‌زایی سولفیدی و سنگ‌میزان شیست و کربناته فرادیواره شده است (شکل ۶-A و B). در مراحل پایانی کانه‌زایی هیپوژن، رگچه‌های کوارتز و کلسیت نیز مشاهده می‌شود که موجب قطع شدن کانه‌زایی (بخش‌های سولفیدی و کربناته)، سنگ‌میزان شیستی و گاهی سنگ‌میزان کربناته شده‌اند. فاز کانی‌زایی سوپرژن با تجزیه اکسیداتیو اسفالریت‌ها و تشکیل اسمیت‌زونیت‌های ناخالص صورتی رنگ غنی از Fe-oxyhydroxides با ساخت توده‌ای و کلوفرم است که بعد از کانی‌زایی هیپوژن، به صورت پوشش بر روی این بخش قرار گرفته است (شکل 6-C). در ادامه روند کانی‌زایی سوپرژن، اسمیت‌زونیت‌های خالص و سفید رنگ کم‌عیار تا قهوه‌ای رنگ پر‌عیار با ساخت‌های توده‌ای، کلوفرم و جعبه‌ای اغلب همراه با کانی‌های همی‌مورفیت، میمتیت و سروزیت تشکیل شده است (شکل 6-D). این اسمیت‌زونیت‌ها در ارتباط با فرادیواره کربناته بوده که بالاترین عیار روی در این بخش از کانسار واقع شده است.

از جمله کانی‌هایی تشکیل شده در مرحله هیپوژن می‌توان به کانی‌های سولفیدی همچون اسفالریت‌های نسل اول و نسل دوم به همراه پلی‌مورف ورتزیت با بافت توده‌ای، کلوفرم و رگمه‌ای،

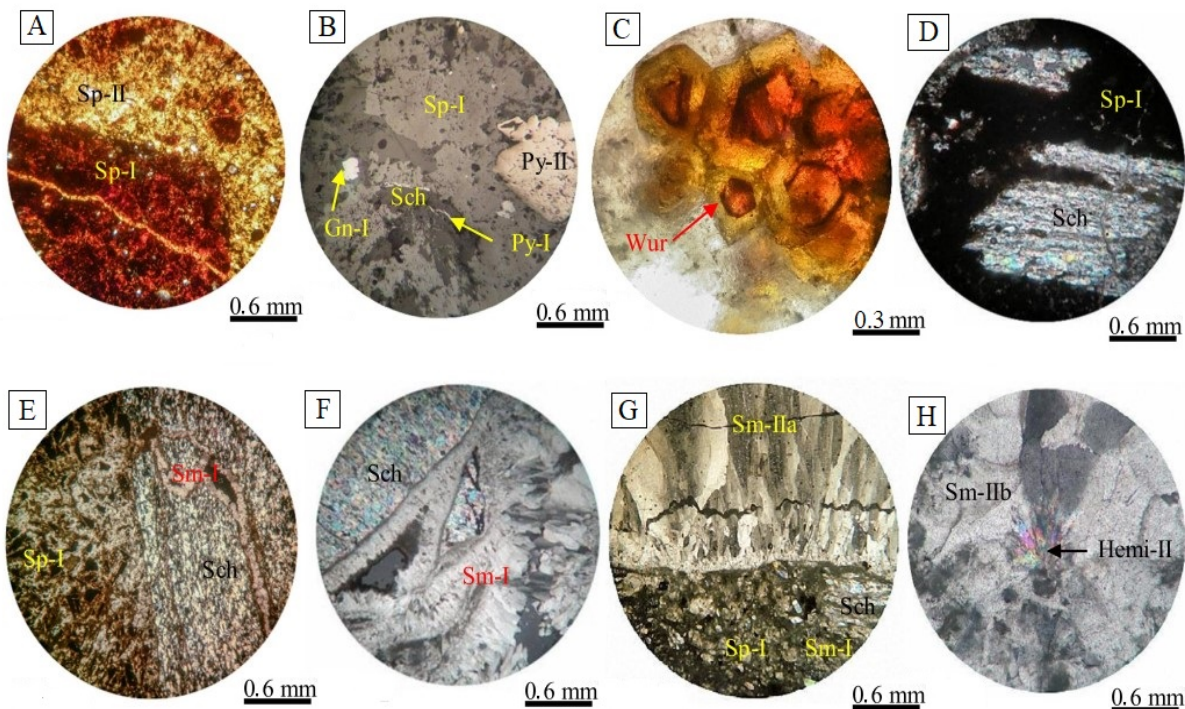
اسفالریت‌های فقیر از مس و سرب (نمونه ۴-۳) و گروه دوم شامل اسفالریت‌های غنی از مس که در عین حال غنی از سرب (نمونه ۰۱ T-01) هستند (شکل ۶ و جدول ۲).

نمونه‌برداری انجام شده از بخش رویاز معدن انگوران در شکل ۳ قابل مشاهده است. طبق نتایج بدست آمده از تجزیه ژئوشیمیابی ICP-MS، دو گروه متفاوت از اسفالریت‌ها در کانسنگ سولفیدی معدن انگوران شناسایی شد. گروه اول شامل



شکل ۴. تصاویر مربوط به نمونه دستی کانی‌زایی بخش هیپوژن و سوپرژن معدن انگوران. A: نمونه دستی مربوط به کانی‌زایی سولفید هیپوژن که موجب قطع و برشی شدن کربنات فرادیواره شده و در ادامه کانی‌زایی هیپوژن کربناته به صورت اسمیت‌زونیت موجب قطع شدن کانی‌زایی سولفید پیش از خود و کربنات فرادیواره شده است، B: نمونه دستی مربوط کانی‌زایی هیپوژن اسمیت‌زونیت که موجب قطع و برشی شدن کانی‌زایی سولفید پیش از خود و شیست فردیواره شده است، C: نمونه دستی اسمیت‌زونیت ناخالص صورتی رنگ که به صورت پوشش بر روی بخش کانی‌زایی هیپوژن قرار گرفته است و D: تصویر مربوط به تجمع بلورهای زرد رنگ میمتیت و همراهی آن با اسمیت‌زونیت خالص پر عیار. اختصار کانی‌ها از ویتنی و اوائز قرارگرفته است و Mim: میمتیت، Sm: سمیت‌زونیت، Sp: اسفالریت، Sch: میمتیت، Sch: شیست.

Fig. 4. Images of hand specimen of hypogene and supergene mineralization in the Angouran mine. A: Hand specimen of hypogene sulfide mineralization (Sp-I) which cross- cutted and brecciated the hanging- wall carbonate rocks and in the following of mineralization, carbonate hypogene mineralization as smithsonite (Sm-I) cross- cutted the early sulfide mineralization and hanging- wall carbonate, B: Hand specimen of hypogene smithsonite (Sm-I) mineralization which cross- cutted the early stage sulfide mineralization and foot- wall schist, C: Hand specimen of impure pink supergene smithsonite (Sm-IIa) which occurred as cap on top of the hypogene ore, and D: The image of the accumulation of yellow mimetite crystals and their accompaniment with high grade pure smithsonite. Abbreviation after Whitney and Evans (2010) (Sp: Sphalerite, Sm: Smithsonite, Mim: Mimetite, Sch: Schist).



شکل ۵. تصاویر میکروسکوپی مربوط به کانه‌زایی هیپرژن و سوپرژن در معدن انگوران. A: قطع شدن اسفالریت نسل اول توسط نسل جوان‌تر اسفالریت، B: کانه‌زایی نسل اول پیریت به صورت رگه-رگچه در شیست فرودیواره و هماهی نسل دوم پیریت و گالان نسل اول با اسفالریت‌های نسل اول، C: بلورهای هگزاگونال ورتزیت، D: برشی شدن سنگ‌میزان شیست در نتیجه کانه‌زایی اسفالریت نسل اول، E: کانه‌زایی اسمیت‌زوینت هیپرژن که موجب قطع شدن و برشی شدن سنگ‌میزان شیست و کانه‌زایی سولفیدی شده است، F: بافت شانه‌ای اسمیت‌زوینت هیپرژن، G: بلورهای درشت و خوش‌وجه اسمیت‌زوینت سوپرژن که به صورت پوششی بر روی کانسنگ هیپرژن تشکیل شده است و H: هماهی اسمیت‌زوینت با بلور شعاعی همی‌مورفیت. علائم اختصاری کانی‌ها از ویتنی و اوائز (Whitney and Evans, 2010) اقتباس شده است (Sp: اسفالریت، Py: پیریت، Sch: شیست، Gn: گالن، Wur: ورتزیت، Sm: اسمیت‌زوینت، Hemi: همی‌مورفیت).

Fig. 5. Photomicrographs of hypogene and supergene mineralization in the Angouran mine. A: Cross-cutting of first-generation sphalerite by the younger generation of sphalerite, B: The mineralization of first-generation pyrite as veinlet in the foot-wall schist. The second generation of pyrite and first-generation of galena are associated with first-generation of sphalerite, C: Hexagonal crystals of wurtzite, D: Brecciated foot-wall schist due to the first-generation sphalerite mineralization, E: The mineralization of hypogene smithsonite which cross-cutted and brecciated the foot-wall schist and sulfide mineralization, F: Comb texture of hypogene smithsonite, G: The coarse-grained of supergene smithsonite which occurred as cap on top of the hypogene ore, and H: Coexist of smithsonite with radial hemimorphite crystal. Abbreviation after Whitney and Evans (2010) (Sp: Sphalerite, Py: Pyrite, Sch: schist, Gn: Galena, Wur: Wurtzite, Sm: Smithsonite, Hemi: Hemimorphite).

نقره در نمونه اسفالریت فقیر از مس و سرب (نمونه ۳-۴) که دارای پلی‌مورف ورتزیت است) در مقابل تجمع کم نقره در نمونه اسفالریت غنی از کانی‌های سرب همچون میمتیت و گالان (نمونه T-01) می‌تواند بیانگر آن باشد که برخلاف بررسی‌های

نقره بر اساس تجزیه‌های انجام‌شده در معدن انگوران، نقره دارای تمرکز بالای ۲۵۸/۸ ppm در نمونه‌های غنی از اسفالریت (دارای پلی‌مورف ورتزیت) است (شکل ۷-A). تجمع بالای

حد تمرکز خود در نمونه سولفیدی اسفالریت (نمونه ۳-۴) هستند (شکل B-۷ و C) و همچنین، تشکیل پلی مورف دما بالای ورتزیت در معدن انگوران اشاره کرد (شکل ۸). گذار اسفالریت به پلی مورف هگراگونال ورتزیت در دمای بالای ۱۹۱۲ درجه سانتی گراد رخ می‌دهد (Allen et al., 1912). درصورتی که در معدن انگوران، کانی ورتزیت به صورت همزیست با اسفالریت‌ها یافت می‌شود. تشکیل این پلی مورف در کانسارهای دما پایین همچون انگوران با دمای تشکیل ۱۵۵ تا ۱۶۵ درجه سانتی گراد (Sadeghi Bojd and Moore, 2005) می‌تواند در نتیجه شرایط احیایی و فوگاسیته پایین گوگرد و غنی‌شدگی از عناصر فلزی کمیاب همچون نقره (Ag)، گالیوم (Ga)، ژرمانیوم (Ge)، ایندیم (In)، قلع (Sn)، کادمیم (Cd) و کبات (Co) مرتبط باشد (Fallah et al., 2019). در پژوهش صادقی و همکاران (Sadeghi et al., 2017) وجود ورتزیت در این کانسار به اثبات رسیده است.

انجام شده پیشین، حجم اصلی نقره به جای همراهی با سولفوسالت‌ها و کانی گالن (Daliran et al., 2013)، به همراه سایر عناصر فرعی همچون قلع (Sn) و ایندیم (In) از طریق جانشینی نقره با عنصر روی (Zn) بوده و وارد شبکه بلوری اسفالریت (و یا ورتزیت) شده است (Beaudoin, 2000; Bonnet et al., 2016). عیار معمولی نقره در کانسنگ‌های قابل استخراج، ۰/۰۱ درصد وزنی معادل ppm ۱۰۰ در نظر گرفته شده است (Gocht et al., 1988; Ridley, 2014) که طبق نتایج به دست آمده (شکل ۷-A)، نمونه اسفالریت فقیر از سرب در معدن روی-سرب انگوران تمرکزی حدود سه برابر عیار حد عنصر نقره را به خود اختصاص داده است. عنصر نقره در باطله‌های کربناته و شیسته‌های فرو Dionar معدن انگوران دارای حداقل تمرکز است. از شواهد تأیید‌کننده مطالعه ذکر شده در ارتباط با جانشینی نقره با عنصر روی (Zn) و وارد شدن به شبکه اسفالریت (و یا ورتزیت)، می‌توان به دو عنصر ایندیم و قلع که دارای بالاترین

جدول ۱. مشخصات نمونه‌های برداشت شده از بخش رویاز معدن روی-سرب انگوران (S: کانه‌زایی سولفید، Sm: اسمیتزوئیت (کانه‌زایی کربناته)، Crb: کربنات (فرادیواره)، Sch: شیسته (فرادیواره))

Table 1. Characteristic of samples which taken from open- pit part of the Angouran mine. (S: Sulfide mineralization, Sm: Smithsonite (carbonate mineralization), Sch: Schist (foot- wall), Crb: Carbonate (hanging- wall))

Sample No.	1-1	1-2	1-2-2	1-2-4	1-3	1-4	2-1	2-2	2-4	2-5
Composition	Sch	Sm+S	Crb	Crb	Crb+Sm	Crb	Sch	Crb+Sm	Sm+Crb	Sm+Crb
Sample No.	3-1	3-2	3-3	3-4	3-5	3-6	3-7	4-2	4-2-2	4-3
Composition	Sch	Sm	Crb	S	Crb	Crb	Sm	Crb+Calamine	Sm+S	Sm
Sample No.	4-4	4-5	5-1	5-3	5-4	6-1	6-2	6-3	6-4	T-01
Composition	S	Crb	Crb	Crb	Sm+S	Sch	Sch	S+Sm	Crb	S

جدول ۲. تجزیه دستگاهی ICP-MS مربوط به نمونه‌های برداشت شده از بخش روباز معدن روی-سرب انگوران. نتایج آنالیزها بر اساس ppm است
. (Dl: Detection limit)

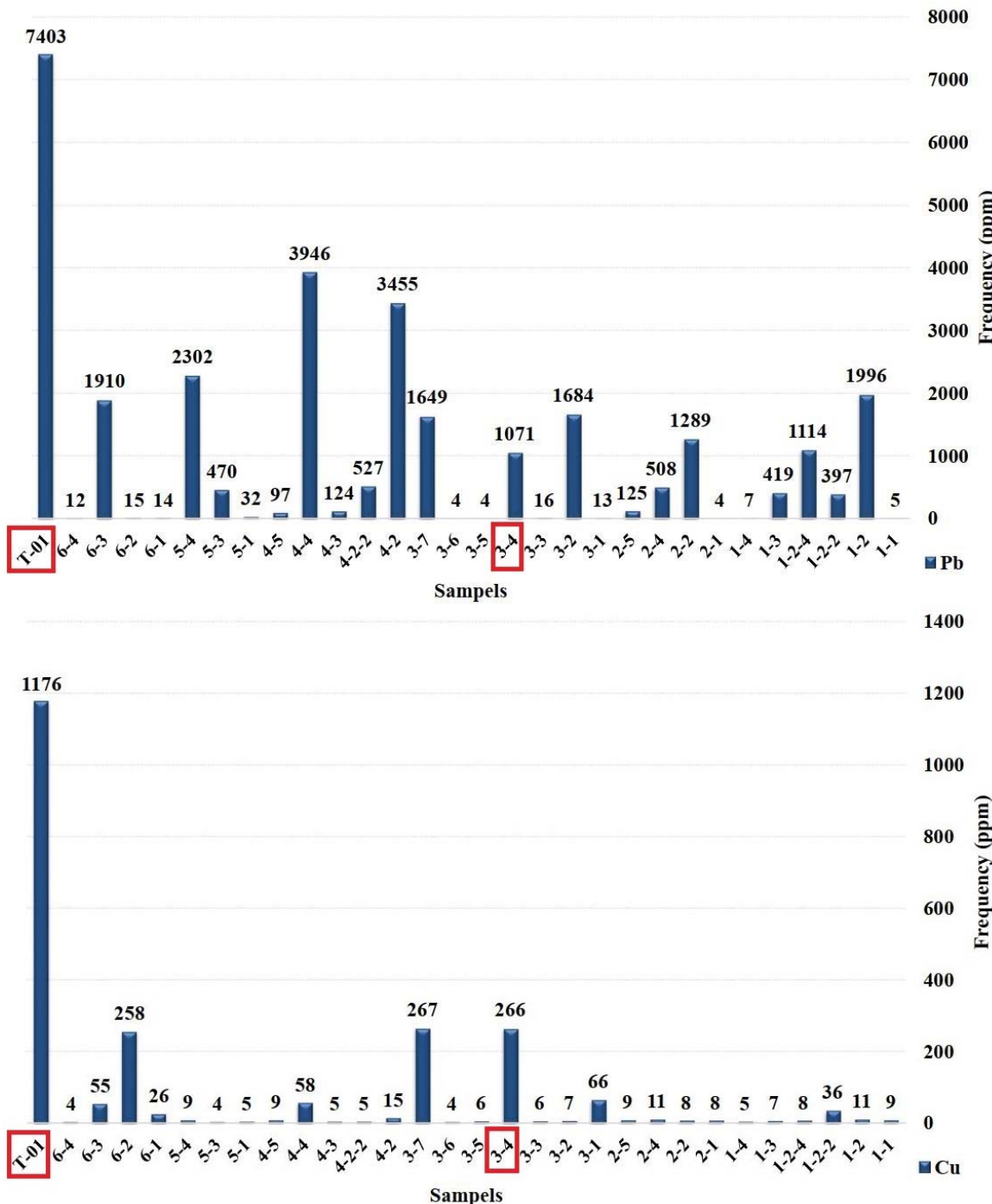
Table 2. ICP-MS analysis data of samples which taken from open- pit part of the Angouran mine. The result of data are in ppm (Dl: Detection limit).

Sample No.	Dl	1-1	1-2	1-2-2	1-2-4	1-3	1-4	2-1	2-2	2-4	2-5
Ag	0.1	<0.1	1.3	1.6	1.4	0.2	<0.1	<0.1	0.6	0.1	0.2
As	0.1	2.2	>100	48.9	82.5	>100	2.3	15.8	>100	>100	69.8
Cd	0.1	0.2	972.6	4.7	134.4	58.6	0.8	0.3	169	1413.8	1021.1
Co	1	18.1	245.4	12.3	1.6	<1	<1	6.2	17.2	216.9	167.6
Cu	1	9	11	36	8	7	5	8	8	11	9
Fe	100	37337	5448	4706	449	156	1666	20545	1967	4499	3811
In	0.5	<0.5	<0.5	<0.5	<0.5	<0.5	<0.5	<0.5	<0.5	<0.5	<0.5
Mg	100	>2%	428	3072	2282	2697	2927	>2%	1642	1998	2029
Mn	6	459	410	375	8	<5	123	2175	784	382	665
Sample No.	Dl	1-1	1-2	1-2-2	1-2-4	1-3	1-4	2-1	2-2	2-4	2-5
Pb	0.05	5	1996	397	1114	419	7	4	1289	508	125
Sb	0.5	0.7	30.9	9.4	0.7	<0.5	0.5	0.8	2.9	16.7	6.6
Se	0.5	1.6	90.81	0.73	<0.5	1.29	<0.5	1.01	0.56	94.89	29.51
K	100	6715	<100	1261	<100	<100	195	14039	423	<100	<100
Al	100	70400	609	4856	232	118	1952	42526	1519	390	1557
S	50	381	115	2266	117	82	97	183	123	89	65
Ni	1	82	25	9	16	12	5	20	43	173	266
Zn	1	228	>3%	601	65	4798	108	79	2457	>3%	>3%
Sample No.	Dl	3-1	3-2	3-3	3-4	3-5	3-6	3-7	4-2	4-2-2	4-3
Ag	0.1	<0.1	0.9	0.1	285.8	0.7	0.1	97.5	3.6	0.7	1.5
As	0.1	4	>100	0.9	76	0.4	<0.1	>100	>100	63.6	>100
Cd	0.1	2.9	46.3	0.9	3127.1	8.1	1.6	537.6	87	18.5	13.4
Co	1	31.6	76.1	<1	296.9	<1	<1	11.3	6.3	1.4	5.3
Cu	1	66	7	6	266	6	4	267	15	5	5
Fe	100	29191	2752	358	36677	854	451	7798	8180	1942	2715
In	0.5	<0.5	<0.5	<0.5	7.67	<0.5	<0.5	1.89	<0.5	<0.5	<0.5
Mg	100	19305	1681	2649	807	3159	3330	504	2502	2851	1820
Mn	6	916	397	66	171	34	71	380	456	355	119
Pb	0.05	13	1684	16	1071	4	4	1649	3455	527	124
Sb	0.5	<0.5	9.9	1	>100	0.6	<0.5	5.3	14.3	8	5.3
Se	0.5	1.19	7.32	<0.5	105.08	1.44	0.69	2.58	1.18	2.05	2.24
K	100	5039	<100	<100	668	<100	<100	<100	116	<100	<100
Al	100	47124	350	226	2084	945	357	560	1311	299	570
S	50	1705	1011	136	>3%	784	281	180	739	382	2044
Ni	1	281	179	4	28	8	3	10	13	10	10
Zn	1	210	>3%	58	>3%	204	253	9340	2563	625	5774

ادامه جدول ۲. تجزیه دستگاهی ICP-MS مربوط به نمونه‌های برداشت شده از بخش روباز معدن روی-سرب انگوران. نتایج آنالیزها بر اساس ppm است.(DL: Detection limit)

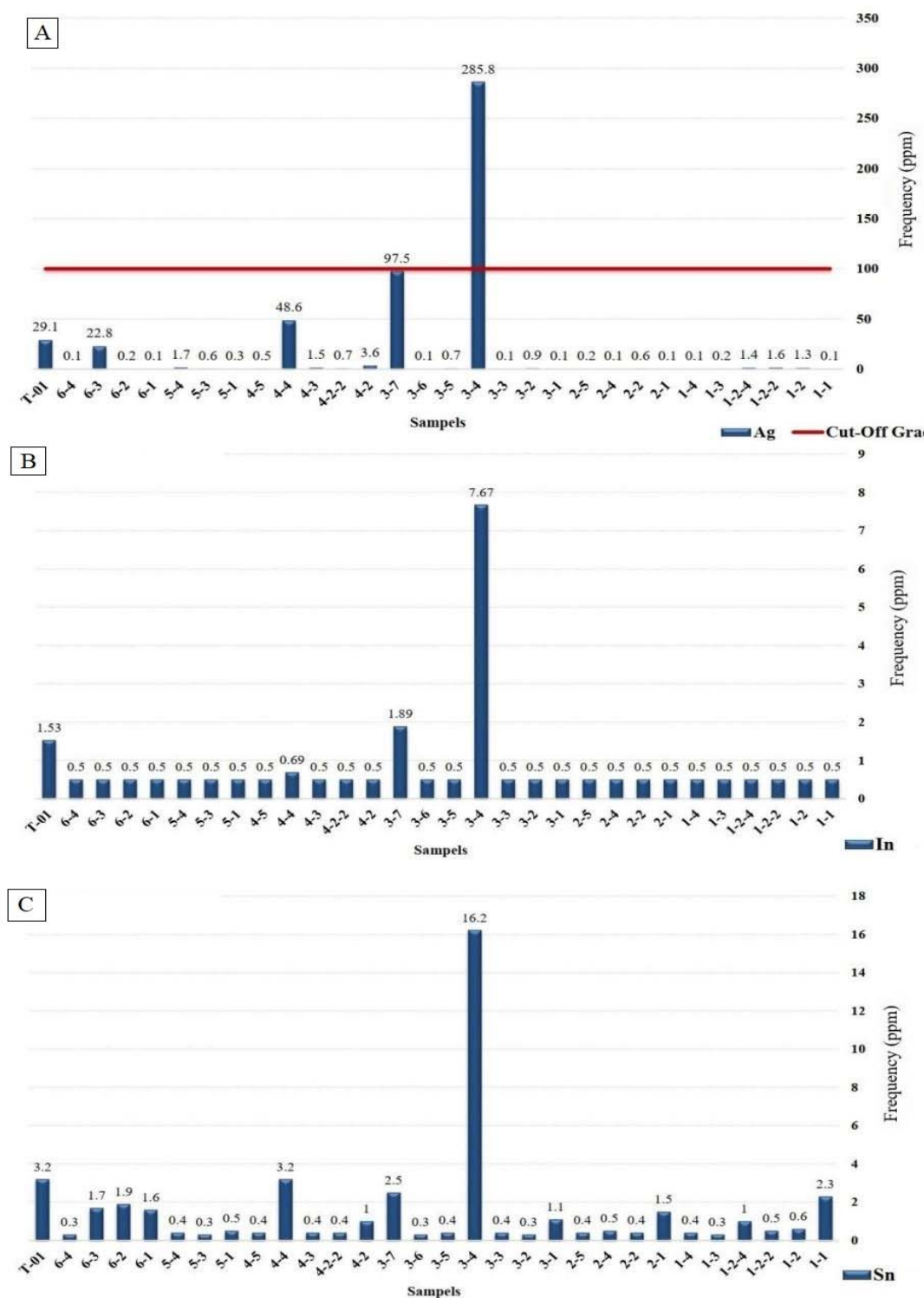
Table 2 (Continued). ICP-MS analysis data of samples which taken from open- pit part of the Angouran mine. The result of data are in ppm (DL: Detection limit).

Sample No.	DL	4-4	4-5	5-1	5-3	5-4	6-1	6-2	6-3	6-4	T-01
Ag	0.1	48.6	0.5	0.3	0.6	1.7	<0.1	0.2	22.8	0.1	29.1
As	0.1	>100	4.1	85.3	6.2	>100	4.1	7	>100	0.5	>100
Cd	0.1	613.9	14	1.1	0.9	58.8	0.9	0.8	467.6	1.6	2325.2
Co	1	252.9	1.4	5.1	<1	52.7	9.9	20.9	70.4	<1	366.1
Cu	1	58	9	5	4	9	26	258	55	4	1176
Fe	100	9890	1334	4931	646	6577	19822	34515	7225	917	9409
In	0.5	0.69	<0.5	<0.5	<0.5	<0.5	<0.5	<0.5	<0.5	<0.5	1.53
Mg	100	872	2101	11353	2648	922	8270	>2%	3183	3779	563
Mn	6	390	355	371	138	419	142	1061	757	65	371
Pb	0.05	3946	97	32	470	2302	14	15	1910	12	7403
Sb	0.5	30	2.5	1.8	8	>100	1	1.2	8.6	0.7	>100
Se	0.5	53.71	0.59	0.74	<0.5	6.82	0.61	2.37	16.63	<0.5	83.89
K	100	4008	<100	2056	<100	<100	12595	6943	<100	200	197
Al	100	20818	1197	7448	571	401	32641	46575	2069	1133	1211
S	50	2762	126	4297	195	175	679	13974	94	611	>3%
Ni	1	73	4	7	2	120	25	64	87	5	176
Zn	1	>3%	194	187	79	>3%	177	525	>3%	48	>3%



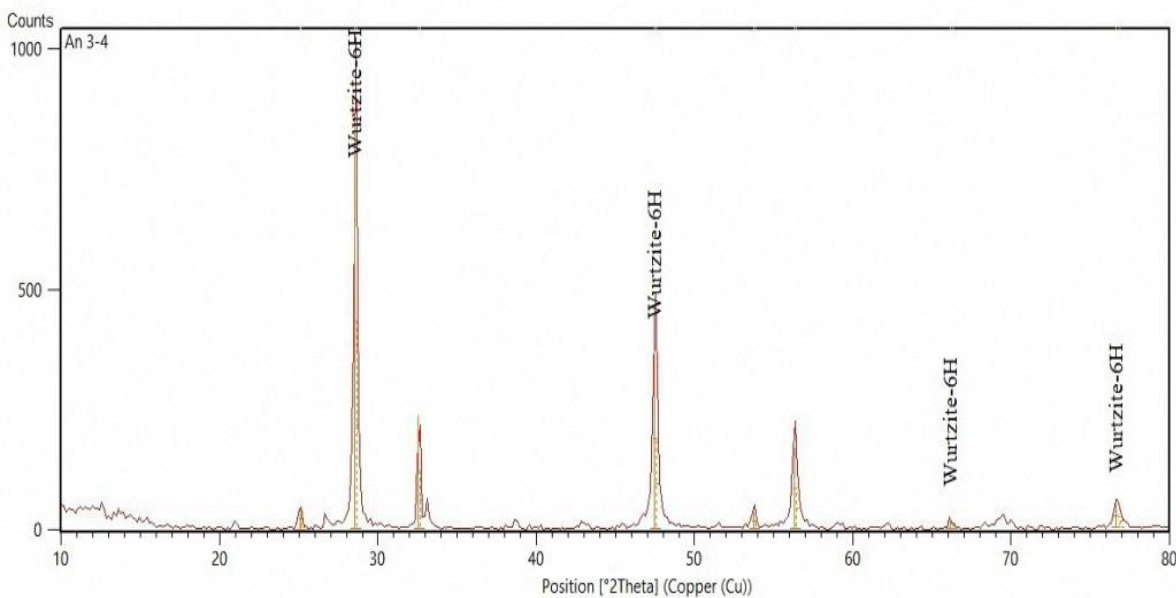
شکل ۶. تصویر مربوط به نتایج تجزیه ژئوشیمیایی نمونه‌ها در معدن انگوران که دو نوع متفاوت از اسفالریت در آن شناسایی شده است. اسفالریت نوع اول (نمونه ۳-۴) فقیر از عناصر سرب و مس و اسفالریت نوع دوم (نمونه T-01) غنی از عناصر مس و سرب است.

Fig. 6. The image of geochemistry analysis in the Angouran mine which shows two different types of sphalerite. The first type (sample 3-4) is poor in two elements of copper and lead, and the second type (sample T-01) is rich in two elements of copper and lead.



شکل ۷. A، B و C: تصاویر به ترتیب نشان‌دهنده تمرکز سه عنصر نقره، ایندیم و قلع در نمونه ۴-۳ در معدن انگوران است.

Fig. 7. A, B, and C: images indicate the concentration of the three elements of silver, indium and tin in the sample 4-3, respectively in the Angouran mine.



شکل ۸. تصویر مربوط به نتیجه بدست آمده از طیف‌سنج XRD بر روی نمونه ۳-۴ در معدن انگوران که نشان‌دهنده تشکیل پلی‌مورف ورتزیت در این نمونه است.

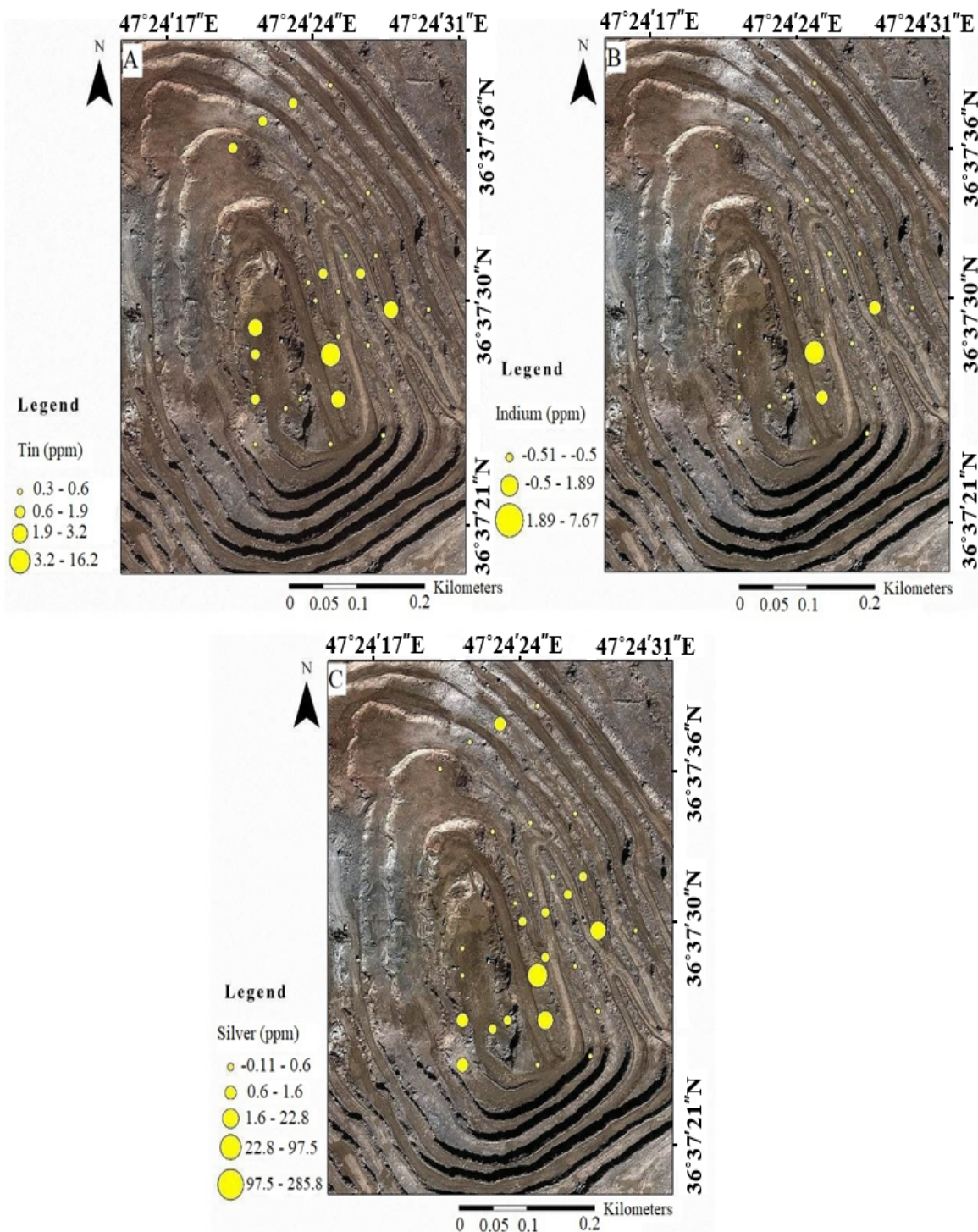
Fig. 8. The image of XRD result from sample 3-4 in the Angouran mine which shows formation of Wurtzite polymorph in this sample.

(شکل ۱۱-A) نشان‌دهنده همبستگی خطی بسیار قوی (بالای ۰/۹) در معدن انگوران است. نتیجه بدست آمده از این همبستگی بیانگر این موضوع است که عنصر نقره، به همراه دو عنصر ایندیم و قلع تحت تأثیر جانشینی دوگانه در شبکه اسفالریت، به صورت $2\text{Zn}^{2+} \leftrightarrow \text{Ag}^+ + \text{Sn}^{3+}$ و $\text{Ag}^+ + \text{In}^{3+} \leftrightarrow 2\text{Zn}^{2+}$ جای گرفته است (Bauer et al., 2018; Cook et al., 2009). برخلاف جانشینی ارائه شده در پژوهش‌های پیشین ($\text{Zn}^{2+}, \text{Fe}^{2+}$ یا $\text{In}^{3+} + \text{Cu}^+ \leftrightarrow 2\text{Zn}^{2+}$) (Marangi, 2017) و با توجه به عدم همبستگی بین دو عنصر ایندیم و مس (شکل ۱۱-B)، جانشینی ایندیم در ساختار اسفالریت مختص به حضور عنصر مس نبوده و عنصر ایندیم می‌تواند در نمونه‌های غنی از نقره و فقیر از مس توسط جانشینی دوگانه $2\text{Zn}^{2+} \leftrightarrow \text{Ag}^+ + \text{In}^{3+}$ در شبکه اسفالریت شرکت کند.

علاوه بر شواهد ذکر شده در بالا، طبق نتایج بدست آمده از نقشه پراکندگی (شکل ۹-A, B و C) و شبکه‌بندی Kriging (شکل ۱۰-A, B و C)، دو عنصر ایندیم و قلع دارای پراکندگی و جای مکان مشابهی با نقره در بخش روباز معدن انگوران هستند.

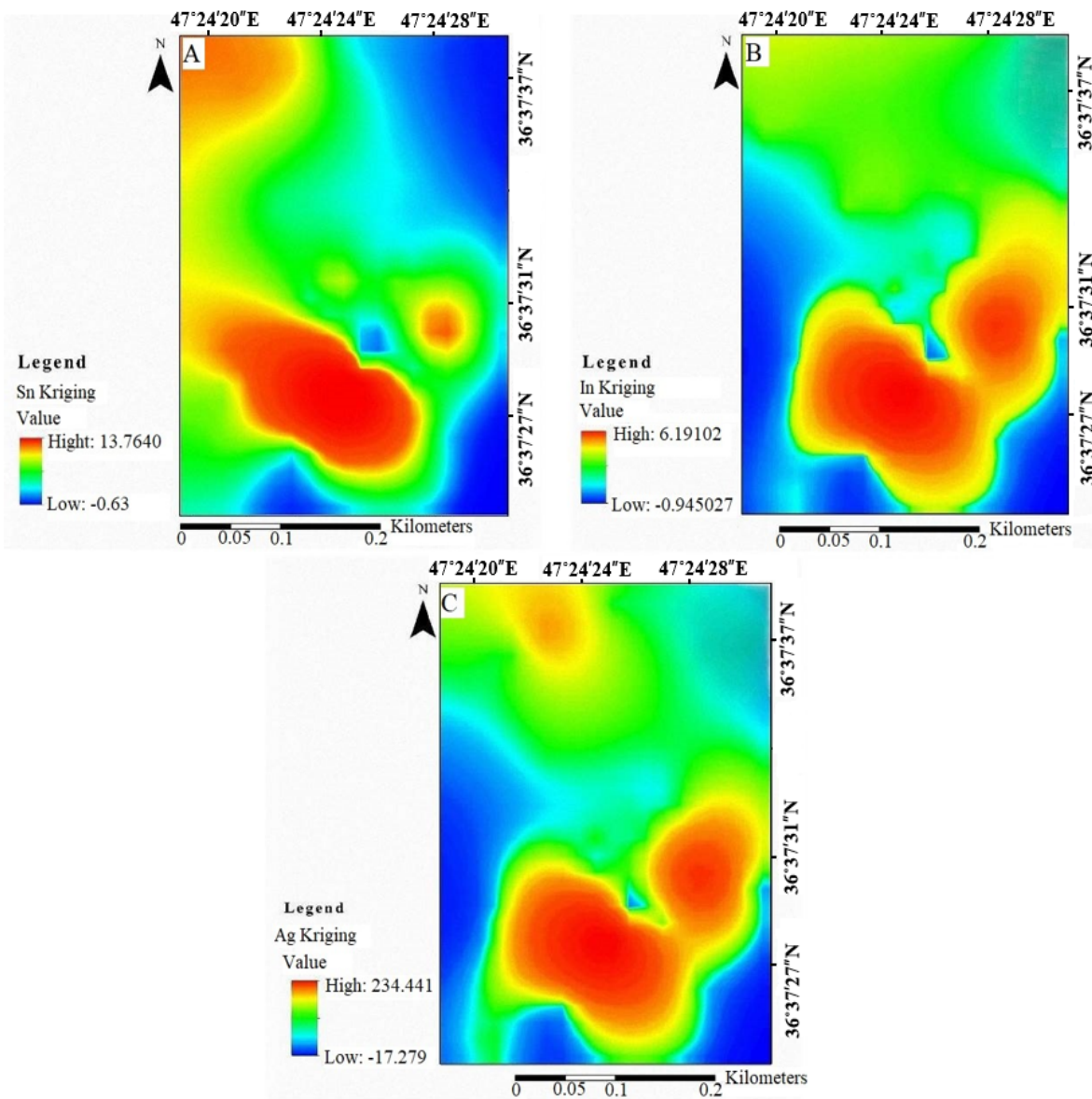
نکته قابل توجه این است که نمونه ۳-۴ دارای میزان سرب بسیار پایینی نسبت به سایر نمونه‌های سولفیدی خود است (شکل ۶)؛ بنابراین، علاوه بر پژوهش‌های انجام شده پیشین (Daliran et al., 2013) و یا به صورت جانشینی دوگانه $\text{Ag}^+ + (\text{Bi}, \text{Sb})^{3+} \leftrightarrow 2\text{Pb}^{2+}$ در شبکه گالن رخداده است و مختص به این کانی‌ها نیست (George et al., 2015; Wang et al., 2018).

نمودارهای همبستگی دو متغیره Sn-In و Ag-Sn



شکل ۹. A، B و C: تصاویر به ترتیب نقشه پراکندگی سه عنصر قلع، ایندیم و نقره در بخش رویاز معدن انگوران است.

Fig. 9. A, B, and C: images represent the dispersion maps of three elements of tin, indium and silver in the open- pit of the Angouran mine, respectively.



شکل ۱۰. A، B و C: تصاویر نشان‌دهنده جای مکان مشابه به دست آمده از پهن‌بندی Kriging به ترتیب برای سه عنصر قلع، ایندیم و نقره در بخش رویاز معدن انگوران است.

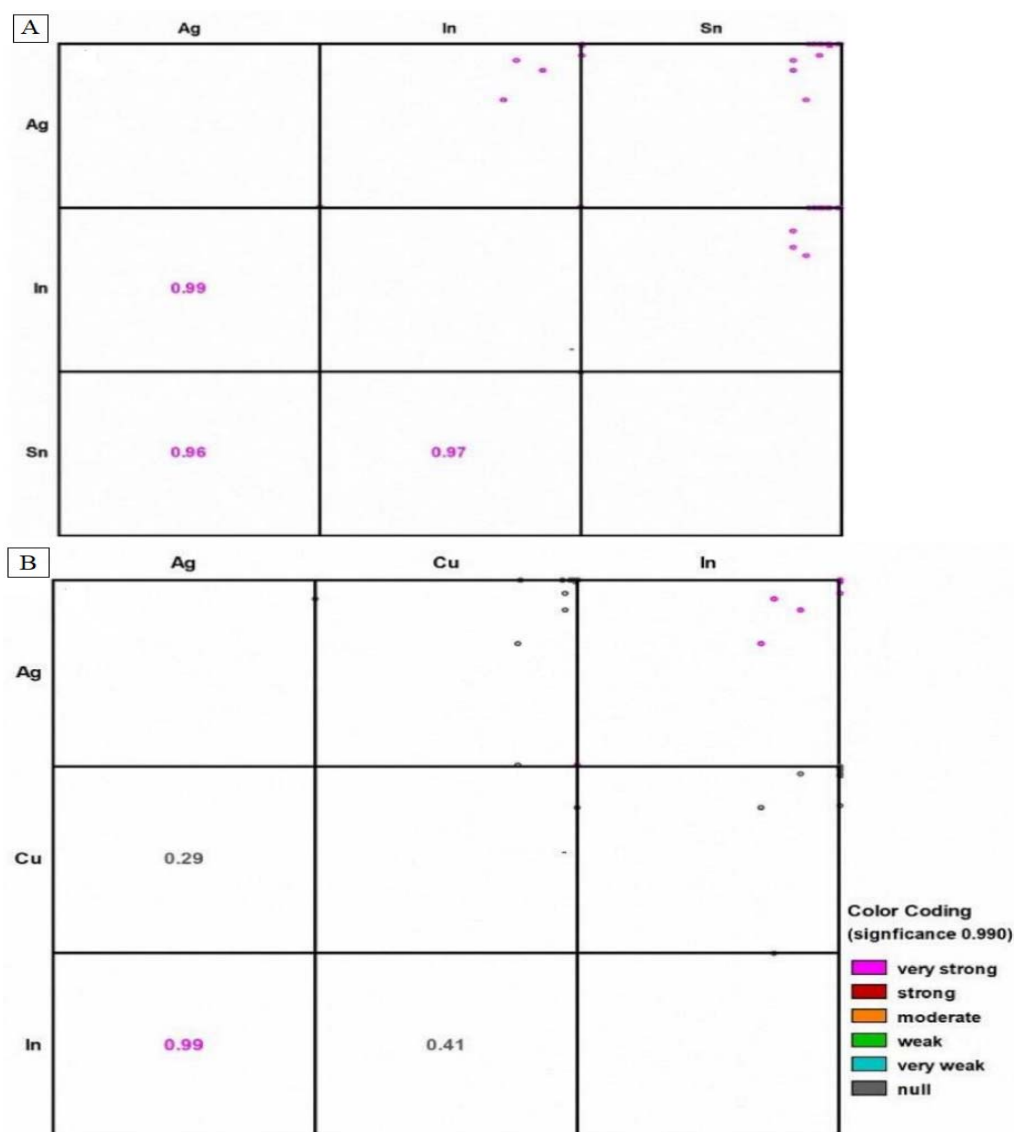
Fig. 10. A, B, and C: images represent the similar locations of the kriging zoning of three elements of tin, indium and silver in the open- pit part of the Angouran mine, respectively.

میانگین این عناصر به ترتیب شامل 150.5 ppm و 18.9 ppm است (شکل A-۱۲ و B) که نشان‌دهنده تجمع بالای آن در بخش‌های مرکزی منطقه کانه‌زایی و در ارتباط با کانسنگ

کادمیم و کبات
مقادیر عنصر کادمیم و کبات در نمونه‌های سولفیدی معدن انگوران، به ترتیب 366.1 ppm و 3127.1 ppm است (مقدار

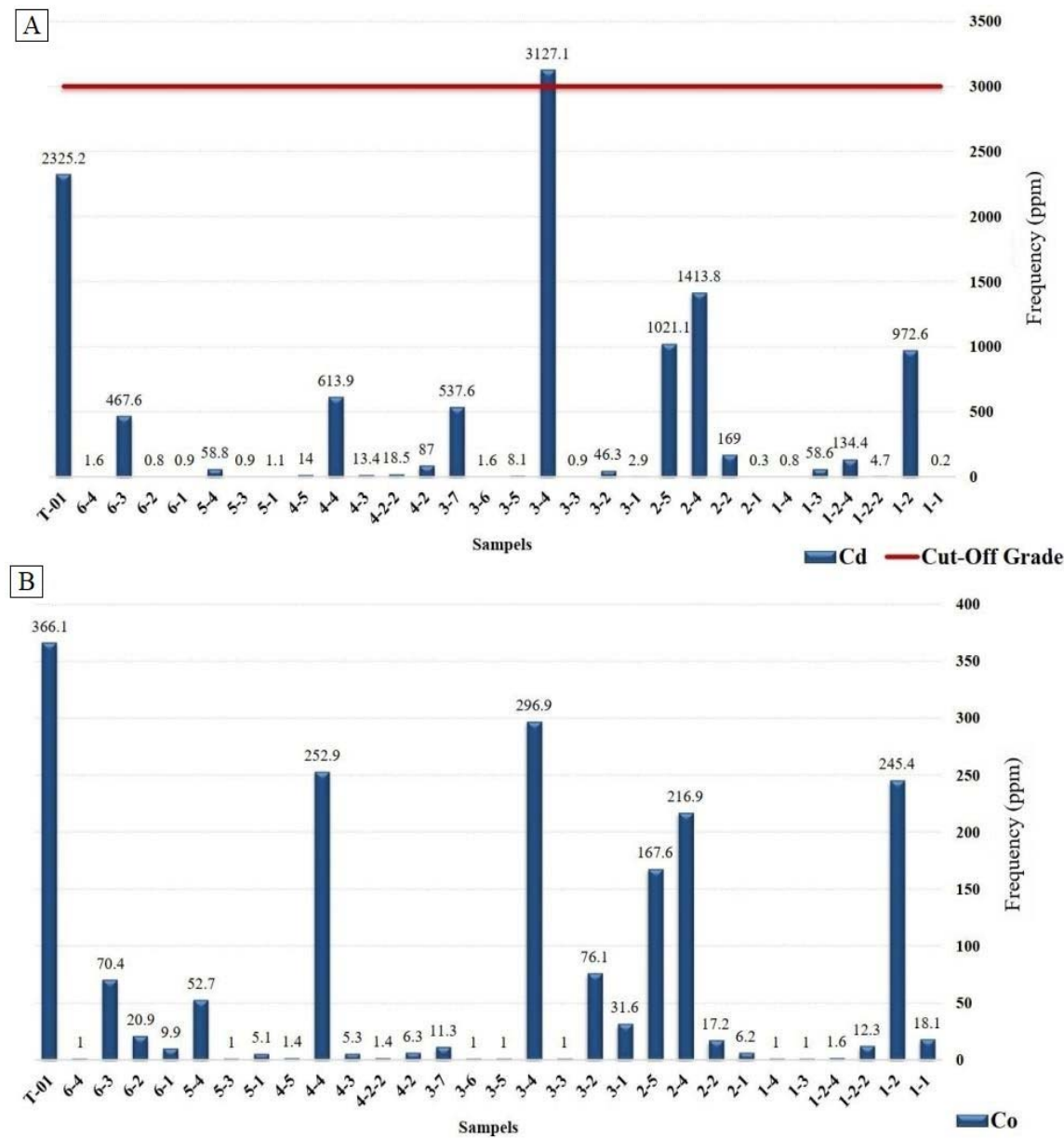
روی در این محدود قرار می‌گیرد (Butterman and Plachy, 2004c). کادمیم از دیگر عناصری است که در بخش روباز معدن روی-سرب انگوران تجمع اقتصادی قابل توجهی را در نمونه سولفیدی فقیر از سرب به خود اختصاص می‌دهد.

سولفیدی است. محتوای کادمیم در کانسنسگ‌های روی می‌تواند تا حد بالای ۱/۳ درصد نیز تشکیل شود؛ اما عیار حد این عنصر به طور معمول در کانسنسگ‌های سولفید روی در حدود ۰/۲ تا ۰/۳ درصد معادل ۲۰۰۰ ppm تا ۳۰۰۰ ppm در نظر گرفته می‌شود که میانگین کادمیم گزارش شده حاصل از کنسانترهای



شکل ۱۱. A: تصویر مربوط به مقایسه همبستگی In-Ag-In، Ag-Sn و Sn-In در معدن انگوران که نشان‌دهنده همبستگی بسیار قوی این سه عنصر است و B: تصویر مربوط به عدم همبستگی معنادار بین دو عنصر ایندیم و مس در معدن انگوران

Fig. 11. A: The image relates to the correlation between Ag-In, Ag-Sn and Sn-In in the Angouran mine, which shows a strong correlation between these three elements, and B: The image of the lack of significant correlation between the two elements of indium and copper in the Angouran mine

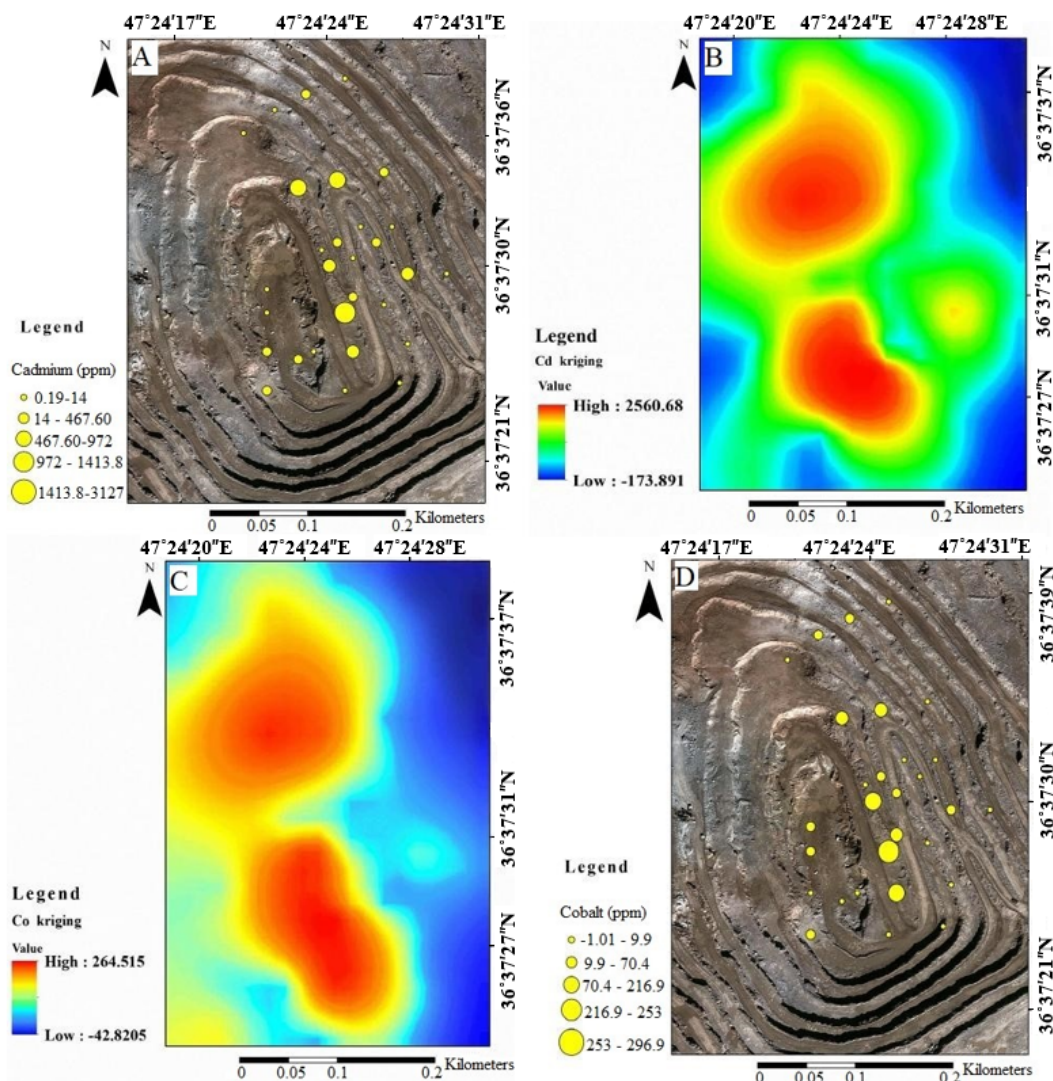


شکل ۱۲. نمودارهای مربوط به دو عنصر A: کادمیم و B: کبالت در معدن انگوران

Fig. 12. Diagrams of two (A) cadmium and (B) cobalt elements in the Angouran mine

اغلب مانند نمونه ۳-۴ دارای پلی‌مورف ورتزیت هستند) است و می‌توانند نشان‌دهنده هم‌مستگی بالای این عناصر در معدن انگوران باشد (شکل ۱۳- A و B و C و D).

طبق نتایج به دست آمده از نقشه پراکندگی و شبکه‌بندی Kriging، عنصر کادمیم و کبالت دارای پراکندگی و جای مکان مشابهی با بخش‌های سولفیدی است که این موضوع توجیه کننده تمرکز بالای این عناصر در نمونه‌های اسفالریت (که



شکل ۱۳. تصاویر مربوط به نقشه زمین‌آمار Kriging و نقشه پراکندگی دو عنصر کادمیم و کبالت در بخش روباز معدن انگوران. A و B: به ترتیب نشان‌دهنده نقشه پراکندگی و جای مکان به دست آمده از پهنه‌بندی Kriging برای عنصر کادمیم در بخش روباز معدن انگوران است. C و D: به ترتیب نشان‌دهنده جای مکان به دست آمده از پهنه‌بندی Kriging و نقشه پراکندگی عنصر کبالت در بخش روباز معدن انگوران است.

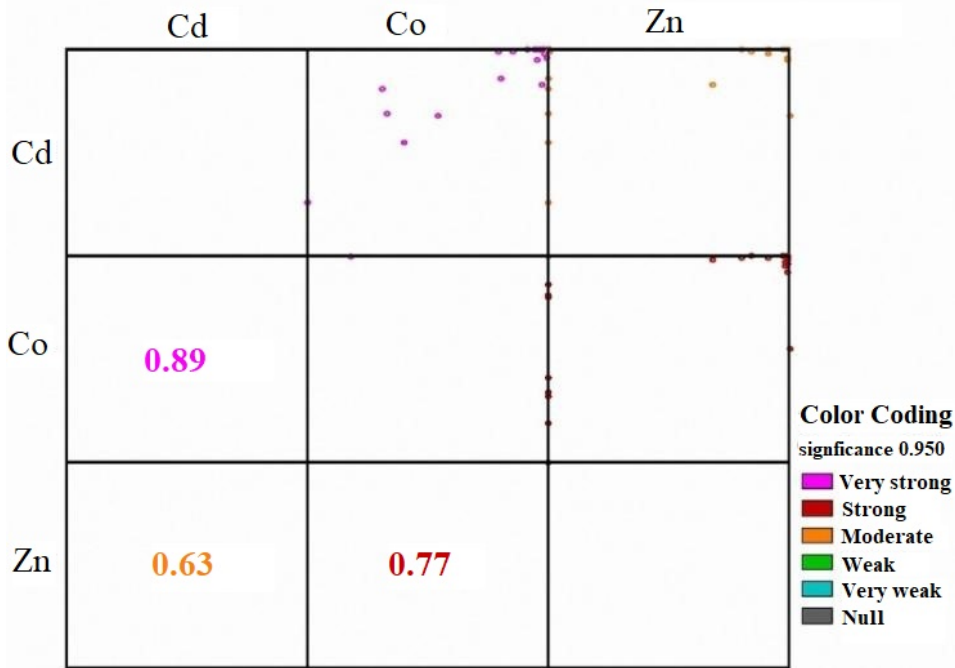
Fig. 13. Images of kriging geostatistics map and the distribution map of two elements of cadmium and cobalt in the open- pit part of the Angouran mine. A and B: represent the distribution map and locations of the kriging zoning for cadmium element in the open- pit of the Angouran mine, respectively. C and D: represent the locations of the kriging zoning and distribution map of cobalt element in the open- pit part of the Angouran mine, respectively.

اسفالریت است (Kritikos, 2016; Wang et al., 2018) مقایسه صورت گرفته از همبستگی بین سه عنصر کادمیم، کبالت و روی نشان‌دهنده همبستگی بالا بین این سه عنصر است که

Zn^{2+} و Co^{2+} دارای شعاع یونی مشابهی با Cd^{2+} هستند که غلطات بالای این دو عنصر نشان‌دهنده همبستگی قوی از طریق جانشینی $\text{Cd}^{2+} \leftrightarrow \text{Co}^{2+} \leftrightarrow \text{Zn}^{2+}$ در ساختار

در برخی از نمونه‌های باطله کربنات می‌تواند در نتیجه کانه‌زایی در فراديواره کربنات معدن انگوران باشد.

تأثیرگذار جانشینی دو عنصر کادمیم و کبالت در ساختار اسفالریت است (شکل ۱۴). تمرکز دو عنصر کادمیم و کبالت



شکل ۱۴. تصویر مربوط به مقایسه همبستگی سه عنصر کادمیم، کبالت و روی در معدن انگوران که نشان‌دهنده همبستگی قوی بین این سه عنصر است.

Fig. 14. The image relates to the correlation between the three elements of cadmium, cobalt and zinc in the Angouran mine, which shows a strong correlation between these three elements.

(A-۱۵)

با توجه به این موضوع که بیشترین تمرکز عنصر سلنیوم در نمونه اسفالریت فقیر از سرب (نمونه ۳-۴) رخداده است، انتظار همبستگی بالای Se-Zn دور از انتظار نیست. تمرکز عنصر سلنیوم در برخی از نمونه‌های باطله کربنات می‌تواند در نتیجه کانه‌زایی در فراديواره کربنات معدن انگوران باشد.

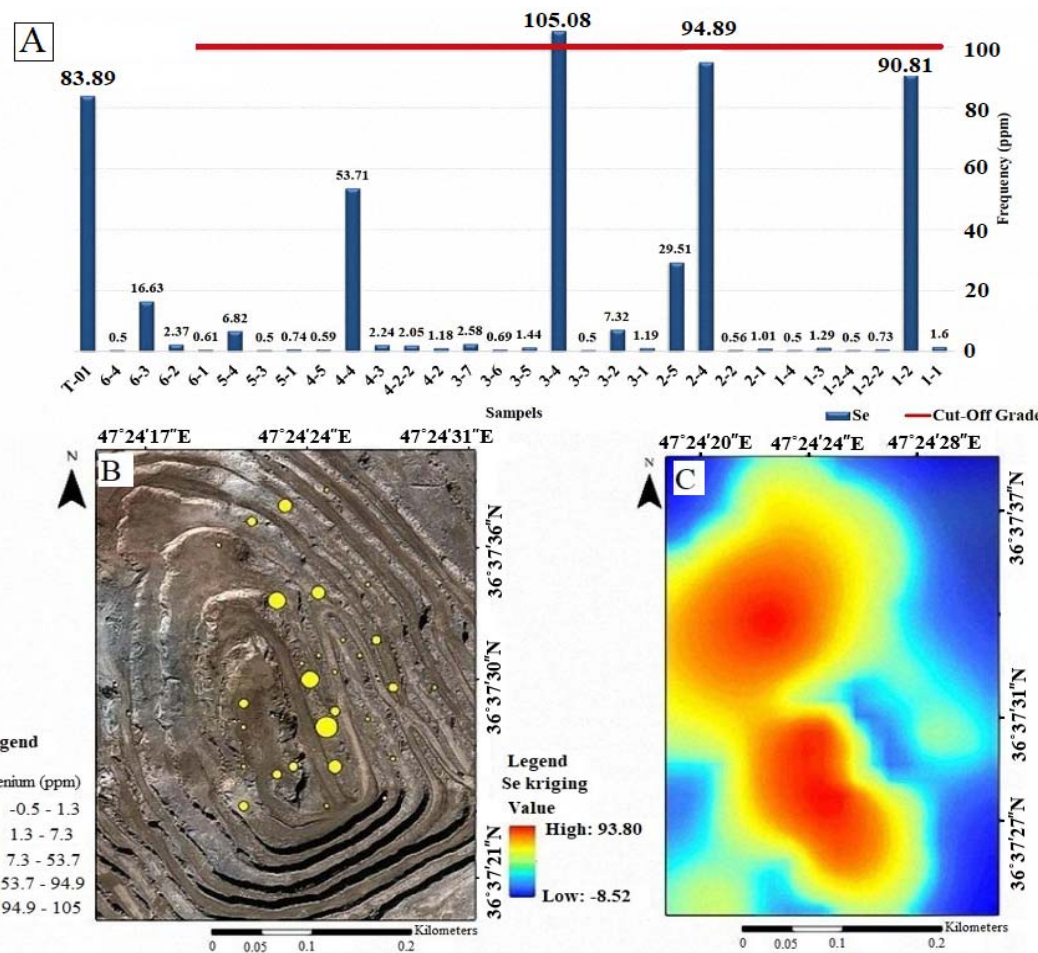
نقشه به دست آمده از پراکندگی این عنصر (شکل ۱۵-B) نیز نشان‌دهنده تجمع عنصر سلنیوم در بخش‌های مرکزی منطقه کانه‌زایی و در ارتباط با کانه‌زایی سولفیدی است. تصویر به دست آمده از شبکه‌بندی Kriging عنصر سلنیوم (شکل ۱۵-C)، نشان‌دهنده توزیع این عنصر در ارتباط با بخش سولفیدی

سلنیوم

سلنیوم دارای ارتباط نزدیکی با گوگرد است؛ زیرا شعاع یونی Se^{2-} تنها کمی بزرگتر (حدود هشت درصد) از آنیون گوگرد S^{2-} است. در نتیجه به راحتی می‌تواند جایگزین گوگرد در ساختار کانی‌های سولفیدی شود. (Butterman and Brown, Jr., 2004a). عیار حد در نظر گرفته شده برای عنصر سلنیوم برای استخراج به عنوان یک محصول جانبی ۰/۰۴ درصد معادل ۴۰۰ ppm است (Bhappu, 1962) که بالاترین مقدار این عنصر در معدن روی- سرب انگوران، ۱۰۵/۰۸ ppm در ارتباط با نمونه غنی از اسفالریت (نمونه ۳-۴) که دارای پلی‌مورف ورتزیت است و فقیر از سرب اندازه‌گیری شده است (شکل

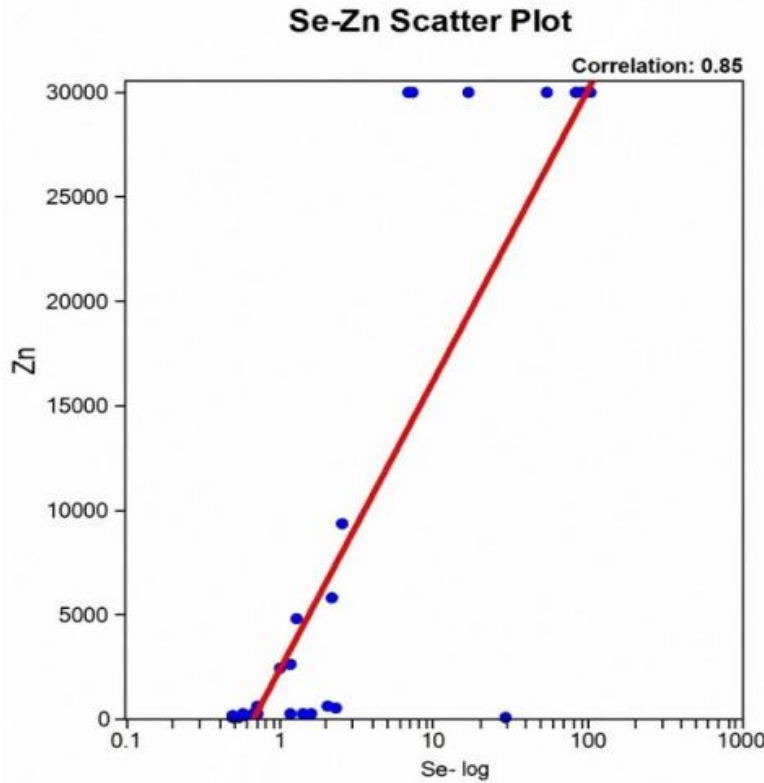
معدن انگوران است که دارای تطابق با مطالعه ارائه شده و نتایج حاصل از تجزیه ژئوشیمیایی است. بنابراین با توجه به این موضوع که تمرکز سلنیوم در معدن انگوران بالاتر از عیار حد در نظر گرفته شده برای این عنصر است؛ می‌توان از آن به عنوان یک محصول جانبی با ارزش، استخراج و بهره‌برداری کرد. این عنصر اقتصادی در سطوح بالا می‌تواند به شدت سمی باشد

(Marshall and Fairbridge, 2006). همبستگی بالای دو عنصر سلنیوم و روی (شکل ۱۶) می‌تواند تأیید کننده این موضوع باشد که سلنیوم به صورت محلول جامد بین ZnS و ZnSe در ساختار اسفالریت شرکت کرده است (Se²⁻ ↔ S²⁻) (Kritikos, 2016).



شکل ۱۵. تصاویر مربوط به میزان تجمع، نقشه زمین‌آمار Kriging و نقشه پراکندگی عنصر سلنیوم در معدن انگوران است. A: تصویر مربوط به تمرکز عنصر سلنیوم در معدن انگوران، B: تصویر مربوط به نقشه پراکندگی عنصر سلنیوم در بخش روباز معدن انگوران و C: تصویر مربوط به دست آمده برای عنصر سلنیوم در بخش روباز معدن انگوران

Fig. 15. Images of accumulation, kriging geostatistics map and the distribution map of selenium element in the Angouran mine. A: The image of the concentration of selenium element in the Angouran mine, B: The image of the distribution maps of selenium element in the open- pit part of the Angouran mine, and C: The image of the kriging zoning of selenium element in the open- pit part of the Angouran mine



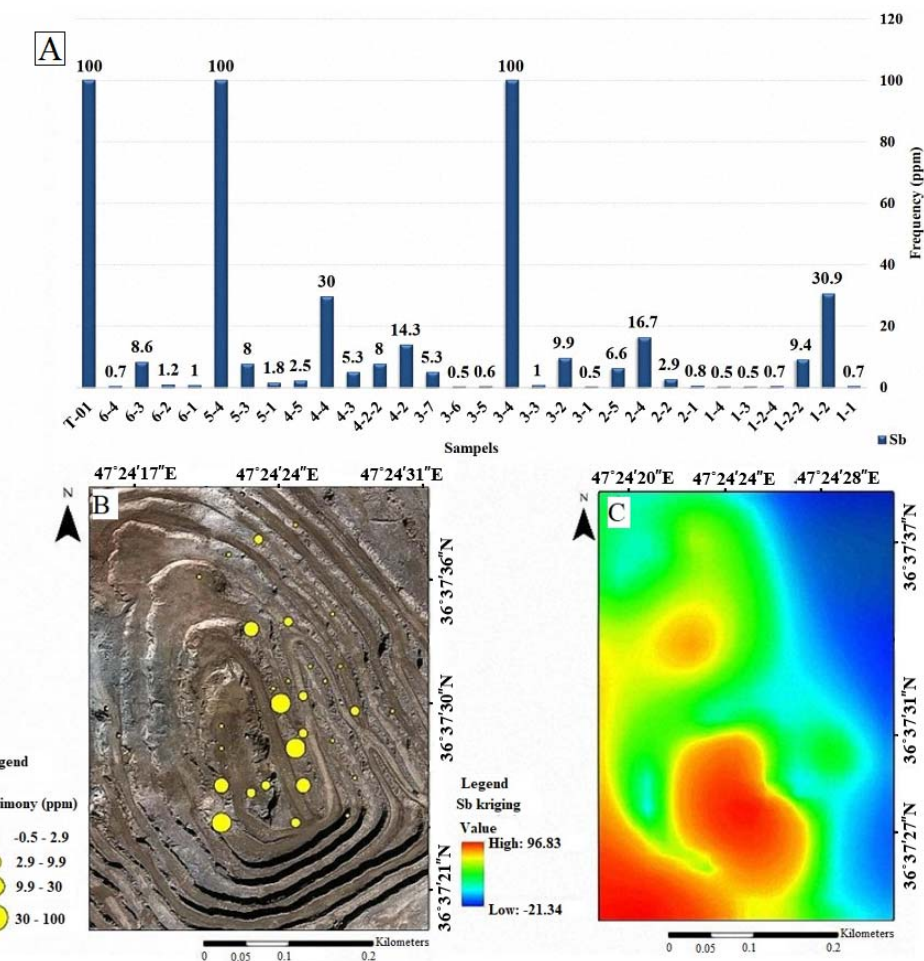
شکل ۱۶. تصویر مربوط به نمودار پراکندگی سلنیوم- روی در معدن انگوران است که روند به دست آمده نشان‌دهنده همبستگی بالا بین این دو عنصر است.

Fig. 16. The image of scatter diagram of selenium- zinc in the Angouran mine which shows the high correlation between these two elements.

آنتیموان از عناصری است که در بخش سولفید معدن انگوران از توضیع یکسانی برخوردار است. تجمع مشابه این عنصر در نمونه اسفالریت فقیر از سرب (نمونه ۳-۴) که دارای پلی‌مورف ورتزیت است و نمونه اسفالریت غنی از سرب (نمونه T-01) می‌تواند نشان‌دهنده همبستگی عنصر آنتیموان با روی و سرب و شرکت در ساختار هر دو کانی اسفالریت و گالان باشد. عنصر آنتیموان دارای کمترین تمرکز در نمونه‌های باطله کربنات و فرو Dionar شیست در معدن انگوران است که مقدار تمرکز جزئی این عنصر در برخی از نمونه‌های باطله کربناته می‌تواند در نتیجه کانه‌زایی در فرادیواره کربنات معدن انگوران باشد (شکل C-B-۱۷).

آنتیموان

آنتیموان در کانسنگ‌های سولفیدی تمایل زیادی به حضور با عناصری همچون مس، سرب و نقره دارد (Butterman and Carlin Jr, 2004b). با توجه به همراهی آنتیموان با عناصری همچون سرب و نقره، تمرکز این عنصر در بخش کانسنگ سولفیدی معدن روی- سرب انگوران دور از انتظار نیست. محدوده عیار اقتصادی عنصر آنتیموان برای استخراج از ۱/۵ تا ۶۰ درصد معادل ۱۵۰۰۰ ppm تا ۶۰۰۰۰ ppm در نظر گرفته می‌شود (Butterman and Carlin, 2004b) که بیشترین میزان تجمع عنصر آنتیموان در معدن روی- سرب انگوران در حدود ۱۰۰ ppm اندازه گیری شده است (شکل A-۱۷).



شکل ۱۷. تصاویر مربوط به میزان تجمع، نقشه زمین‌آمار Kriging و نقشه پراکندگی عنصر آنتیموان در معدن انگوران است. A: تمرکز عنصر آنتیموان در معدن انگوران، B: نقشه پراکندگی عنصر آنتیموان در بخش روباز معدن انگوران و C: پهنه‌بندی Kriging به دست آمده برای عنصر آنتیموان در بخش روباز معدن انگوران

Fig. 17. Images of accumulation, kriging geostatistics map, and the distribution map of antimony element in the Angouran mine. A: the concentration of antimony element in the Angouran mine, B: the distribution maps of antimony element in the open- pit part of the Angouran mine, and C: the kriging zoning map of antimony element in the open- pit part of the Angouran mine

غنى از سرب (نمونه T-01) و در عين حال تجمع پاين مس در نمونه اسفالريت فقير از سرب (نمونه ۳-۴) در كار همبستگي مورد انتظار بين عناصر آنتيموان- مس- سرب (شکل A-۱۸)، Cu⁺ + Cu²⁺ در شبکه کانی گالن باشد (George et al., 2015). بنابراین جاي گيري آنتيموان در ساختار اسفالريت های

نکته قابل توجه در ارتباط همبستگي آنتيموان با روی و سرب در معدن انگوران اين است که بر خلاف پژوهش های انجام شده در گذشته (Marangi, 2017)، علاوه بر ذكر همبستگي موجود بين آنتيموان و عناصر مس و سرب، تمرکز آنتيموان را تنها مختص به جانشيني در ساختار کانی اسفالريت مى دانستند. در حالی که در اين پژوهش، تجمع بالاي مس در نمونه اسفالريت

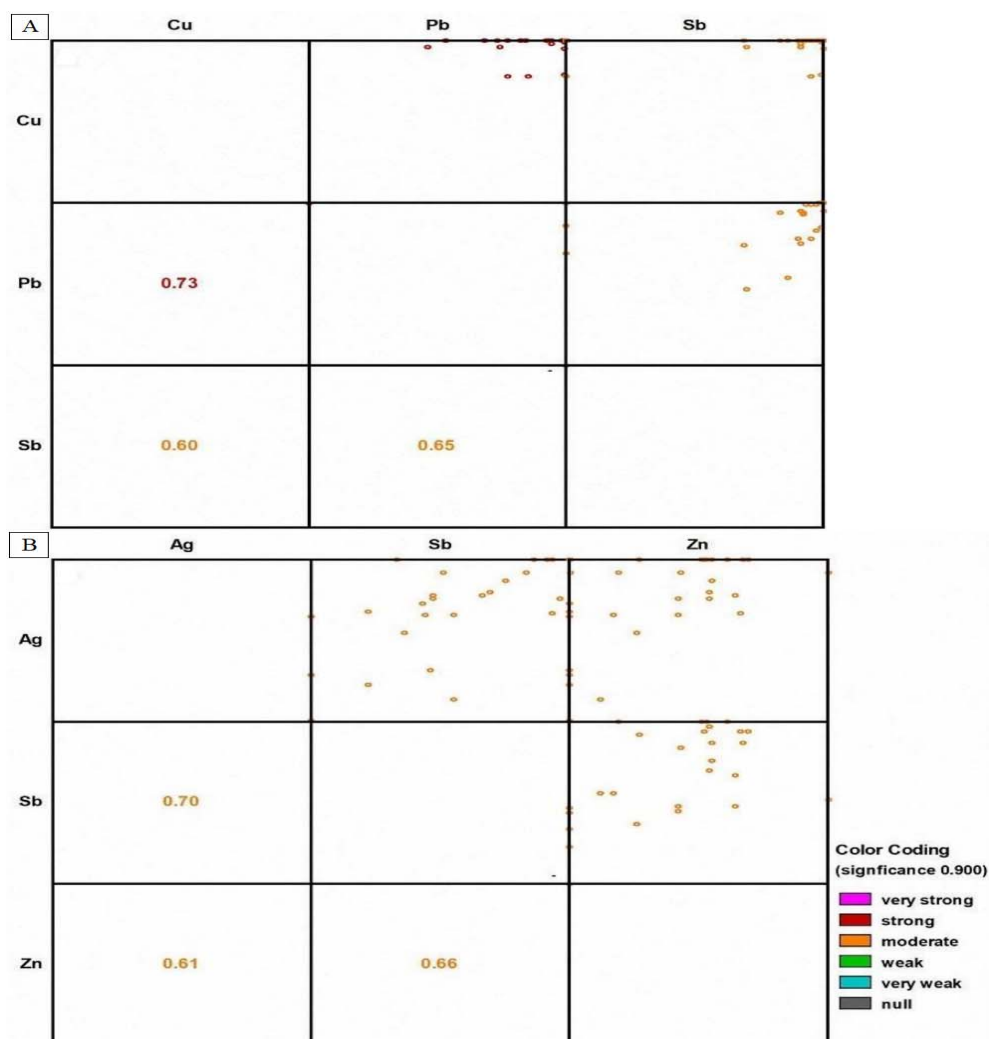
فقیر از سرب و به میزان کمتر مس، سازوکار متفاوتی را پیش دارد.

Belissont et al., 2014; Bonnet et al., 2016;)

(Kritikos, 2016). بنابر نتایج بدست آمده، جانشینی آنتیموان مختص به کانی اسفالریت نبوده و به دلیل همبستگی مثبتی که بین آنتیموان و عناصر مس و سرب وجود دارد، این عنصر می‌تواند به صورت جانشینی دوگانه نیز وارد ساختار گالن موجود در اسفالریت‌های غنی از کانی سرب شود.

در اسفالریت‌های فقیر از سرب، به دلیل غنی‌بودن از نقره و به میزان بسیار جزئی عنصر مس (شکل ۶ و شکل ۷) و با توجه به همبستگی قابل قبول بین عناصر آنتیموان- نقره- روی (شکل ۸)، انتظار می‌رود که جایگزینی آنتیموان به صورت $(Cu,Ag)^{2+} + Sb^{3+} \leftrightarrow 2Zn^{2+}$

$(Ag)^{+} + Sb^{3+} \leftrightarrow 2Zn^{2+}$



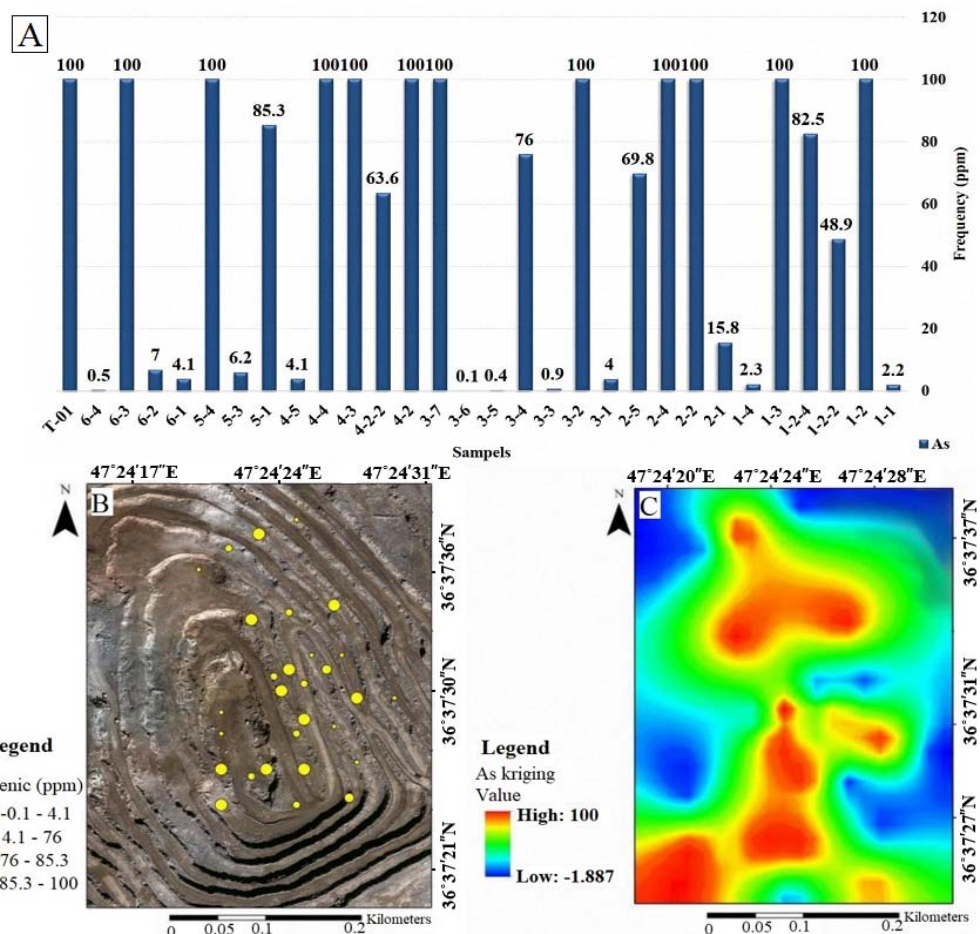
شکل ۱۸: A: مقایسه همبستگی سه عنصر آنتیموان- مس- سرب در معدن انگوران و B: مقایسه همبستگی سه عنصر آنتیموان- نقره- روی در معدن انگوران که نشان‌دهنده همبستگی قوی بین این عناصر در تصاویر A و B است.

Fig. 18. A: the correlation between the three elements of antimony- copper- lead in the Angouran mine, and B: the correlation between the three elements of antimony- silver- zinc in the Angouran mine, which shows a strong correlation between these elements in the A and B images.

آرسنیک

میمتیت‌های کانسنگ کربناته هستند T نیز در این معدن گزارش شده است. توضیحات ذکر شده دارای مطابقت کامل با نتایج حاصل از تجزیه انجام شده و نقشه پراکندگی تهیه شده از این عنصر است که تجمع آرسنیک تا بیش از 100 ppm با پراکندگی نسبتاً ثابت و یکنواخت را در نمونه‌های سولفید و کربناته نشان می‌دهد (شکل ۱۹، A، B و C).

تجمع اصلی آرسنیک در معدن روی- سرب انگوران به صورت آرسنوبیریت در کانسنگ سولفیدی و میمتیت در کانسنگ کربناته رخداده است. مقدادر بسیار کمی از ادخال جزئی سرب آرسنات- فسفات- سولفات، همچنین سولفوسالت‌ها (PbFe₃(OH)₆SO₄AsO₄) و بودانتیت (Zn_2AsO_4OH) (et al., 2013) و به مقدادر جزئی کانی‌های آدمیت (Moradi and Monhemius, 2011) که در ارتباط با



شکل ۱۹. تصاویر مربوط به میزان تجمع، نقشه زمین‌آمار آرسنیک در معدن انگوران است. A: تمرکز عنصر آرسنیک، B: نقشه پراکندگی عنصر آرسنیک در بخش روباز معدن انگوران و C: پهنگ‌بندی Kriging به دست آمده برای عنصر آرسنیک در بخش روباز معدن انگوران

Fig. 19. Images of accumulation, kriging geostatistics map, and the distribution map of arsenic element in the Angouran mine. A: the concentration of arsenic element, B: the distribution maps of arsenic element in the open- pit part of the Angouran mine, and C: the kriging zoning map of arsenic element in the open- pit part of the Angouran mine

پیشتری از آهن (Fe)، کادمیم (Cd) و منگنز (Mn) را نسبت به اسفالریت دارد.

ینو و همکاران (1996, Ueno et al., 1996), با بررسی دمای گذار ورتزیت در سیستم Zn-Fe-Ga-S به این نتیجه رسیدند که ورتزیت در جزء غنی از گالیم (Ga) و گوگرد ایجاد می‌شود. بر طبق این شواهد، نتیجه گرفتند که حضور عناصر فلزی کمیاب می‌تواند دمای گذار را پایین آورده و موجب تشكیل ورتزیت شود؛ در حالی که افزایش فوگاسیته گوگرد موجب افزایش دمای گذار اسفالریت به ورتزیت می‌شود.

بونت و همکاران (2016, Bonnet et al. 2016), با بررسی اسفالریت‌های کانسار Tennessee که یک کانسار MVT دما پایین (۱۰۰ تا ۱۳۰ درجه سانتی گراد) است، متوجه این موضوع شدند که ساختار کوبیک اسفالریت زمانی غالب است که محتوای ژرمانیوم (Ge) و مس آن پایین باشد و غنی‌شدگی از آهن و کادمیم در محیط وجود داشته باشد. در مقابل، نوع هگزاگونال ورتزیت زمانی رخ می‌دهد که غنی‌شدگی آهن و کادمیم به همراه مقدار بالای ژرمانیوم و مس در محیط وجود داشته باشد. این گزارش ضمن تکمیل و تأیید استدلال‌های ارائه شده توسط اسکات و بارنز (Scott and Barnes, 1972) و ینو و همکاران (1996, Ueno et al. 1996)، توانست دیدگاه جدید از حالت گذار اسفالریت به ورتزیت را به ارمغان آورد که محیط احیایی و فوگاسیته پایین گوگرد به همراه حضور عناصر فلزی کمیاب همچون ژرمانیوم و گالیوم و مس، می‌تواند توضیح‌دهنده حضور ساختار ورتزیت در یک کانسار دما پایین باشد.

توضیحات ذکر شده، بیانگر این موضوع است که، همزیستی اسفالریت با پلی‌مورف دما بالای ورتزیت در یک کانسار دما پایین، می‌تواند به عنوان یک معرف و ردیاب برای دسترسی به مکان‌های غنی‌شده از عناصر فلزی کمیاب استفاده شود. طبق گزارش بونت و همکاران (2016, Bonnet et al., 2016)، کانسار دارای عوامل اصلی ذکر شده مانند فوگاسیته نسبتاً پایین گوگرد، دمای پایین کانی‌زایی و حضور همزیست اسفالریت و ورتزیت است.

مقادیر قابل توجهی از آرسنیک در تراورتن‌های تکاب (ppm ۲۵۸-۱۱۵) و چندین چشمۀ آب گرم در تمامی منطقه گزارش شده است که نشان‌دهنده گردش سیالات هیدروترمال در مقیاس ناحیه‌ای است (Boni et al., 2007).

عنصر آرسنیک برای انسان، حیوانات و گیاهان عنصری سمی بوده که میزان استاندارد آن توسط سازمان جهانی سلامت Adriano, (WHO ۰/۰۱ ppm) در نظر گرفته شده است (Adriano, 2001)؛ لذا چنین مقادیر بالا و گسترش وسیع آرسنیک در معدن انگوران به خصوص انباست عظیم باطله‌ها در بخش‌های جنوب و جنوب‌غرب معدن (شکل ۱)، می‌تواند تهدید بزرگی برای گونه‌های مختلف گیاهی، جانوری و سفره‌های آب زیرزمینی در منطقه باشد.

نتیجه‌گیری

در این پژوهش از کانی اسفالریت و پلی‌مورف ورتزیت، به عنوان کانی معرف و ردیاب برای شناسایی مکان‌های مستعد غنی‌شدۀ از عناصر فلزی کمیاب نظری کادمیم (Cd)، گالیم (Ga)، ژرمانیوم (Ge)، آهن (Fe) استفاده شد. روابط پایداری بین دو فاز مجزا از کانی‌های سولفید روی یعنی اسفالریت و ورتزیت از موضوعات مهم در بحث کانی‌شناسی است. آلن و همکاران (Allen et al., 1912)، مطالعات اولیه در زمینه حالت گذار بین اسفالریت و ورتزیت را مورد بررسی قرار دادند و دمای ۱۰۲۰ درجه سانتی گراد در فشار یک اتمسفر را برای تبدیل اسفالریت به ورتزیت در نظر گرفتند. پلی‌مورف ورتزیت در معدن انگوران که در بخش سولفید هیپوژن رخ داده (Sadeghi et al., 2017)، اغلب به صورت تک‌بلورهای خوش‌وجه همراه با اسفالریت‌های نسل اول است.

اسکات و بارنز (Scott and Barnes, 1972)، نشان دادند که اسفالریت و ورتزیت می‌توانند در محدوده دمایی زیر ۱۰۲۰ درجه سانتی گراد، تحت تابعی از فوگاسیته S_2 با یکدیگر حضور داشته باشند. طبق استدلال ارائه شده توسط اسکات و بارنز (Scott and Barnes, 1972)، ورتزیت توانایی حلالیت

باطله‌های بخش روباز معدن روی- سرب انگوران، غنی‌شدگی و پراکندگی قابل توجهی را به خود اختصاص می‌دهد (بیش از ۱۰۰ ppm) که این میزان بسیار بالاتر از استاندارد تعیین شده برای عنصر آرسنیک توسط سازمان جهانی سلامت (ppm) (۰/۰۱) است.

تمرکز اقتصادی عناصر فلزی در معدن انگوران به دو بخش سولفیدی و باطله‌های کربناته قابل تقسیم هستند. بخش سولفیدی دارای غنی‌شدگی از عناصر نقره، کادمیم، سلنیوم (بالاتر از عیار حد خود) و عناصر کمیاب که در کانی ورتزیت و اسفالریت تمرکز دارند و بخش باطله‌های کربناته که دارای غنی‌شدگی از عنصر آرسنیک است. طبق این شواهد و با توجه به سیاست‌های موجود در معدن انگوران، در ادامه روند برداشت و بهره‌برداری از بخش روباز معدنی برای جلوگیری از مخلوط و انباشته شدن باطله‌ها و سایر مواد معدنی، می‌توان آنها را بر اساس نوع و میزان غنی‌شدگی احتمالی از عناصر فلزی کیمیاب، دسته‌بندی و انباشت کرد تا در زمان مناسب توسط تجهیزات لازم مورد بهره‌برداری و استخراج قرار گیرند. با توجه به پراکندگی وسیع عنصر آرسنیک در باطله‌های معدنی، انباشت و دسته‌بندی اصولی این باطله‌ها در ادامه روند استخراج در این معدن، می‌تواند راه حلی برای جلوگیری از ارتباط این عنصر سمی با سفره‌های آب زیرزمینی و محیط‌زیست اطراف باشد. بنابراین، دسته‌بندی و انباشت اصولی عناصر فلزی موجود در باطله‌ها و سایر بخش‌های معدنی بر اساس نوع و میزان غنی‌شدگی، نه تنها موجب به حداقل رساندن مخاطرات زیست‌محیطی می‌شود؛ بلکه می‌تواند قدمی برای استخراج و بهره‌برداری این عناصر به صورت محصول جانی باشد تا در کنار عناصر اصلی، کمک حال اقتصادی مهمی برای معدن انگوران و ایجاد زمینه اقتصادی مناسب در کشور باشد.

قدرتمند

نویسنده‌گان مقاله از حمایت‌های مالی دانشگاه زنجان و شرکت تهیه و تولید مواد معدنی (مجتمع معدنی سرب و روی انگوران)

با مقایسه دو کانسار Tennessee و انگوران باید انتظار غنی‌شدگی قابل توجهی از عناصر فلزی کمیاب را در معدن انگوران همانند آنچه در کانسار دما پایین و دارای مقادیر ایزوتوپ گوگرد مشابه با سایر ذخایر Gilg et al., 2006 و همچنین دارای همزیستی اسفالریت در کنار بلورهای خوش‌وجه ورتزیت است. نکته قابل توجه در ارتباط با معدن انگوران این است که دمای کانی زایی در این کانسار به طور میانگین ۱۵۰ درجه سانتی‌گراد (Sadeghi Bojd and Moore, 2005; Marangi, 2017) است که این شرایط با دمای گذار اعلام شده برای تبدیل اسفالریت به ورتزیت سازگار است.

نتایج تجزیه ژئوشیمیایی به دست آمده در این پژوهش، تمرکز بالای عناصر فلزی (نقره، کادمیم، سلنیوم، قلع، ایندیم، کبات و غیره) در بخش سولفیدی معدن انگوران و مشابه با آنچه که در کانسار Tennessee گزارش شده است را نشان می‌دهد. این نتایج تأیید کننده نظرهای ارائه شده پیشین در ارتباط با تشکیل کانی‌های اسفالریت و ورتزیت به صورت همزیست در نتیجه غنی‌شدگی از عناصر فلزی کمیاب است.

براساس مطالب ارائه شده و پژوهش‌های انجام‌شده پیشین، تشکیل همزیست پلی‌مورف دما بالای ورتزیت به همراه بلورهای اسفالریت در یک کانسار دما پایین، می‌تواند به عنوان یک معرف برای غنی‌شدگی از عناصر کمیاب فلزی در یک کانسار دما پایین در نظر گرفته شود. در این پژوهش نیز از تشکیل همزیست بلورهای ورتزیت و اسفالریت، برای بررسی تمرکز و توجیه غنی‌شدگی عناصر فلزی کمیاب در کانسار انگوران استفاده شده است که یک کانسار با دمای کانی‌زایی پایین است. طبق تجزیه‌های ژئوشیمیایی به دست آمده، عملده عناصر اقتصادی که قابلیت برنامه‌ریزی برای استخراج و بهره‌برداری را داشته باشند (نقره، کادمیم و سلنیوم)، تمرکز در بخش سولفیدی این معدن و اغلب در ارتباط با اسفالریت‌های فقیر از کانی‌های سرب هستند؛ در حالی که، عنصر آرسنیک در

راهنمایی‌های علمی ارزنده‌اشان سپاسگزاری می‌نمایند.

برای انجام این پژوهش تشکر می‌نمایند. همچنین نویسنندگان از سردبیر و داوران محترم نشریه زمین‌شناسی اقتصادی برای

References

- Adriano, D.C., 2001. Trace elements in terrestrial environments, Biogeochemistry, Bioavailability, and Risks of Metals. Springer, New York, 867 pp. <https://doi.org/10.1007/978-0-387-21510-5>
- Ahrabian Fard, P., 2019. Geology, geochemistry and genesis of Chromite mineralization in the Alamkandi area, west of Zanjan. M.sc. Thesis, Zanjan University, Zanjan, Iran, 145 pp. (in Persian with English abstract)
- Allen, E.T., Crenshaw, J.L. and Merwin, H.E., 1912. The slphides of zinc, cadmium, and mercury; their crystalline forms and genetic conditions; microscopic study by HE Merwin. American Journal of Science, 34(202): 341–396. <https://doi.org/10.2475/ajs.s4-34.202.341>
- Babakhani, A.R. and Ghalamghash, J., 1990. Geological map of Iran, 1: 100,000 series sheet Takht-e-Soleiman. Geological Survey of Iran, Tehran. (in Persian)
- Bauer, M.E., Burisch, M., Ostendorf, J., Krause, J., Frenzel, M., Seifert, T. and Gutzmer, J., 2018. Trace element geochemistry of sphalerite in contrasting hydrothermal fluid systems of the Freiberg district, Germany: insights from LA-ICP-MS analysis, near-infrared light microthermometry of sphalerite-hosted fluid inclusions, and sulfur isotope geochemistry. Mineralium Deposita, 54(2): 237–262. <https://doi.org/10.1007/s00126-018-0850-0>
- Beaudoin, G., 2000. Acicular sphalerite enriched in Ag, Sb, and Cu embedded within color-banded sphalerite from the Kokanee Range, British Columbia, Canada. The Canadian Mineralogist, 38(6): 1387–1398. <https://doi.org/10.2113/gscanmin.38.6.1387>
- Belissoint, R., Boiron, M.C., Luais, B. and Cathelineau, M., 2014. LA-ICP-MS analyses of minor and trace elements and bulk Ge isotopes in zoned Ge-rich sphalerites from the Noailhac–Saint-Salvy deposit (France): Insights into incorporation mechanisms and ore deposition processes. Geochimica et Cosmochimica Acta, 126(1): 518–540. <https://doi.org/10.1016/j.gca.2013.10.052>
- Bhappu, R.B., 1962. Recovering Selenium from Sandstone Ores of New Mexico. JOM (The Journal of the Minerals, Metals & Materials Society (TMS)), 14(6): 429–431. <https://doi.org/10.1007/BF03378161>
- Boni, M., Gilg, H.A., Balassone, G., Schneider, J., Allen, C.R. and Moore, F., 2007. Hypogene Zn carbonate ores in the Angouran deposit, NW Iran. Mineralium Deposita, 42(8): 799–820. <https://doi.org/10.1007/s00126-007-0144-4>
- Bonnet, J., Mosser-Ruck, R., Caumon, M.C., Rouer, O., Andre-Mayer, A.S., Cauzid, J. and Peiffert, C., 2016. Trace Element Distribution (Cu, Ga, Ge, Cd, and Fe) in Sphalerite from the Tennessee MVT Deposits, USA, By Combined EMPA, LA-ICP-MS, Raman Spectroscopy, and Crystallography. The Canadian Mineralogist, 54(5): 1261–1284. <https://doi.org/10.3749/canmin.1500104>
- Butterman, W.C. and Brown Jr, R.D., 2004a. Mineral Commodity Profiles: Selenium. U.S. Geological Survey, United States, Report 03–18, 20 pp. <https://doi.org/10.3133/ofr0318>
- Butterman, W.C. and Carlin Jr, J.F., 2004b. Mineral commodity profiles: Antimony. U.S. Geological Survey, United States, Report 03–19, 35 pp. <https://doi.org/10.3133/ofr0319>
- Butterman, W.C. and Plachy, J., 2004c. Mineral commodity profiles: Cadmium. U.S. Geological Survey, United States, Report 02–238, 25 pp. <https://doi.org/10.3133/ofr02238>
- Cook, N.J., Ciobanu, C.L., Pring, A., Skinner, W., Shimizu, M., Danyushevsky, L., Saini-Eidukat,

- B. and Melcher, F., 2009. Trace and minor elements in sphalerite: A LA-ICPMS study. *Geochimica et Cosmochimica Acta*, 73(16): 4761–4791.
<https://doi.org/10.1016/j.gca.2009.05.045>
- Daliran, F., Pride, K., Walther, J., Berner, Z.A. and Bakker, R.J., 2013. The Angouran Zn (Pb) deposit, NW Iran: evidence for a two stage, hypogene zinc sulfide-zinc carbonate mineralization. *Ore Geology Reviews*, 53: 373–402.
<https://doi.org/10.1016/j.oregeorev.2013.02.002>
- Fallah, M., Nabatian, Gh. and Ghadimi, S., 2019. Introduction of wurtzite mineral as trace metal elements potential in the Angouran Zn-Pb mine. 26th Symposium of Crystallography and Mineralogy of Iran (SCMI), Imam Khomeini International University, Qazvin, Iran. (in Persian with English abstract) Retrieved March 30, 2019 from <http://www.cmsi.ir/UI/ArticleDetails?Lang=fa&ArticleID=2043>
- George, L., Cook, N.J., Ciobanu, C.L. and Wade, B.P., 2015. Trace and minor elements in galena: A reconnaissance LA-ICP-MS study. *American Mineralogist*, 100(2–3): 548–569.
<https://doi.org/10.2138/am-2015-4862>
- Ghorbani, M., 2008. Economic geology of natural and mineral resources of Iran. Pars Arian Zamin Publication, Tehran, 570 pp. (in Persian)
- Gilg, H.A., Boni, M., Balassone, G., Allen, C.R., Banks, D. and Moore, F., 2006. Marble-hosted sulfide ores in the Angouran Zn-(Pb-Ag) deposit, NW Iran: interaction of sedimentary brines with a metamorphic core complex. *Mineralium Deposita*, 41(1): 1–16.
<https://doi.org/10.1007/s00126-005-0035-5>
- Gocht, W.R., Eggert, R.G. and Zantop, H., 1988. International mineral economics: mineral exploration, mine valuation, mineral markets, international mineral policies. Springer, Verlag Berlin Heidelberg, 279 pp.
<https://doi.org/10.1007/978-3-642-73321-5>
- Kritikos, A., 2016. Compositional Systematics of Sphalerites from Western Bergslagen, Sweden. M.Sc. Thesis, Uppsala University, Uppsala, Sweden, 111 pp. Retrieved March 03, 2019 from <https://www.semanticscholar.org/paper/Compo>
<https://doi.org/10.5277/ppmp170147>
- Maanijou, M. and Khodaei, L., 2018. Mineralogy and electron microprobe studies of magnetite in the Sarab-3 iron Ore deposit, southwest of the Shahrok mining region (east Takab). *Journal of Economic Geology*, 10(1): 267–293. (in Persian with English abstract)
<https://doi.org/10.22067/econg.v10i1.56522>
- Maanijou, M. and Salemi, R., 2015. Mineralogy, chemistry of magnetite and genesis of Korkora-1 iron deposit, east of Takab, NW Iran. *Journal of Economic Geology*, 6(2): 355–374. (in Persian with English abstract)
<https://doi.org/10.22067/econg.v6i2.22650>
- Marangi, H., 2017. Mineralogy and geochemistry of prone ore and minerals to concentration of trace and rare earth elements in zinc and lead Angouran mine - southwest of Zanjan. M.Sc. Thesis, Zanjan University, Zanjan, Iran, 145 pp. (in Persian with English abstract)
- Marshall, C.P. and Fairbridge, R.W., 2006. *Encyclopedia of Geochemistry*. Springer Netherlands, 747 pp.
- Moradi, S. and Monhemius, A.J., 2011. Mixed sulphide-oxide lead and zinc ores: Problems and solutions. *Minerals Engineering*, 24(10): 1062–1076.
<https://doi.org/10.1016/j.mineng.2011.05.014>
- Pirkharrati, H. and Farhadi, Kh., 2014. Investigating the potential of water and soil pollution in the Angouran lead and zinc mine area and providing solutions for crisis management. IMPASCO, Iran, Yazd, Report 1, pp. 55–76. (in Persian)
- Rahimi, H., 2016. Geological Map of Angouran Mine, scale 1: 2000. Iran's minerals producer and supplier co. (IMPASCO), Zanjan.
- Ridley, J., 2014. *Ore deposit geology*. Cambridge University Press, New York, 411 pp.
<https://doi.org/10.2138/am-2014-651>
- Sadeghi, N., Moghaddam, J. and Ilkhchi, M.O., 2017. Determination of effective parameters in pilot plant scale direct leaching of a zinc sulfide concentrate. *Physicochemical Problems of Mineral Processing*, 53(1): 601–616.
<https://doi.org/10.5277/ppmp170147>
- Sadeghi Bojd, M. and Moore, F., 2005. From fluid inclusion study to genesis of the Angouran ore deposit NW Iran. The 15th

- Annual Goldschmidt Conference: A voyage of discovery, University of Idaho, Idaho, Moscow. Retrieved February 28, 2018 from <https://goldschmidt.info/conferencesView>
- Scott, S.D. and Barnes, H.L., 1972. Sphalerite-wurtzite equilibria and stoichiometry. *Geochimica et Cosmochimica Acta*, 36(11): 1275–1295. . [https://doi.org/10.1016/0016-7037\(72\)90049-X](https://doi.org/10.1016/0016-7037(72)90049-X)
- Ueno, T., Scott, S.D. and Kojima, S., 1996. Inversion between sphalerite and wurtzite-type structures in the system Zn-Fe-Ga-S. *The Canadian Mineralogist*, 34(5): 949–958. . Retrieved March 18, 2018 from <https://pubs.geoscienceworld.org/canmin/article/34/5/949/12799/Inversion-between-sphalerite-and-wurtzite-type>
- Wang, Y., Han, X., Petersen, S., Frische, M., Qiu, Z., Cai, Y. and Zhou, P., 2018. Trace Metal Distribution in Sulfide Minerals from Ultramafic-Hosted Hydrothermal Systems: Examples from the Kairei Vent Field, Central Indian Ridge. *Minerals*, 8(11): 1–21. <https://doi.org/10.3390/min8110526>
- Whitney, D.L. and Evans, B.W., 2010. Abbreviations for names of rock-forming minerals. *American Mineralogist*, 95(1): 185–187. <https://doi.org/10.2138/am.2010.3371>

COPYRIGHTS

©2021 The author(s). This is an open access article distributed under the terms of the Creative Commons Attribution (CC BY 4.0), which permits unrestricted use, distribution, and reproduction in any medium, as long as the original authors and source are cited. No permission is required from the authors or the publishers.



How to cite this article

Fallah, M., Nabatian, Gh. and Ghadimi, S., 2021. Investigation of mineralogical and geochemical evidence for evaluation of economic potential in the waste minerals of Angouran zinc and lead mine. *Journal of Economic Geology*, 13(2): 295–325. (in Persian with English abstract) <https://dx.doi.org/10.22067/econg.v13i2.81335>



Investigation of mineralogical and geochemical evidence for evaluation of economic potential in the waste minerals of Angouran zinc and lead mine

Mohammad Fallah¹, Ghasem Nabatian^{1*} and Saideh Ghadimi²

1) Department of Geology, Faculty of Sciences, University of Zanjan, Zanjan, Iran

2) Angoran Mine, Zanjan, Iran

Submitted: June 15, 2019

Accepted: Apr. 28, 2020

Keywords: Waste minerals, wurtzite, trace elements, Sanandaj- Sirjan zone, Angouran, Zanjan

Introduction

Increasing demand for ore minerals needed for economic development and the desire to find a suitable rank in the international community has forced developing countries such as Iran employ more mining activities which has led to creation of a large amount of waste minerals. Given the existing equipment establishing the necessary situation and economic solutions for the exploitation of valuable elements from these waste minerals can be considered as a source for economic development of the country. The Angouran Zn-Pb mine is located west of the Zanjan province and northwest of the magmatic-metamorphic Sanandaj- Sirjan zone. The wurtzite mineral can be used as an indicator mineral for trace elements such as IGG (indium, gallium, germanium) in this mine. The economic concentration of metal elements in the Angouran mine can be divided into two parts of sulfide and gangue carbonate. The sulfide part of this mine is enriched with silver, cadmium and selenium (higher than their cut-off grade) and the gangue carbonate part is enriched in arsenic element. The foot-wall schists show some concentration of elements which are related to sulfide mineralization.

Material and methods

More than 30 rock samples were collected from cross sections in the open-pit part of the Angouran mine which covers all different parts such as foot-wall schist, sulfide mineralization, carbonate mineralization and hanging-wall carbonate

(marble). About 30 samples were prepared for petrographic studies and geochemistry analysis which were analyzed at the Zarazma laboratory (Tehran, Iran). The ArcGIS, Geosoft Oasis Montaj and Excel software packages were also used for interpretation of data.

Geology of the study area

The Angouran Zn-Pb mine is located west of the Zanjan province and northwest of the magmatic-metamorphic Sanandaj- Sirjan zone. The rock units in the study area include foot-wall quartz schist and hanging-wall marble with Precambrian age, Mesozoic diorite and granite, Cenozoic pyroclastic units such as white tuffs and Quaternary travertine sediments. It should be mentioned that the white tuffs and, in some cases older units are crosscut by younger diabatic sills and dikes (Ghorbani, 2008; Pirkharrati and Farhadi, 2014; Fallah et al., 2019).

Results

The Angouran deposit has been formed as breccia structure on the boundary between thrusted hanging-wall marble and foot-wall quartz schist. According to this study, mineralization in the Angouran deposit has occurred during two hypogene and supergene stages. Hypogene mineralization in the Angouran deposit has been formed as successive phases of sulfide and carbonate. The hypogene mineralization continued by the formation of supergene mineralization. According to the geochemical analysis, a high concentration of trace elements such as silver,

*Corresponding author Email: gh.nabatian@znu.ac.ir

cadmium and selenium was detected in the Angouran deposit. These elements are concentrated in the sulfide ore mainly in the sphalerite mineral with poor lead minerals. The carbonate part of the Angouran mine which is considered to be waste contains enrichment of arsenic. The foot-wall schists are not enriched with trace elements and just concentrate in some elements such as iron, antimony, cadmium, cobalt and selenium, which are related to sulfide mineralization.

Discussion

Based on the geochemistry analysis and microscopic studies, the economic concentration of metal elements in the Angouran mine can be divided into two parts of sulfide and carbonate. The sulfide part of this mine has been enriched with silver, cadmium and selenium (higher than their cut-off grade) and the carbonate part has been enriched with arsenic. This element can be considered to be a major threat to human health, along with its numerous uses, such as pesticides, medicine, electronics, etc.

The wide distribution of arsenic in the open pit mine along with the other toxic elements such as cadmium and selenium (mainly related to the sulfide mineralization and host quartz schist) are too dangerous for the villagers who live near the mine due to the seepage of these toxic elements to underground water aquifers and their surrounding environment. It should be mentioned that, in the Angouran mine, the waste minerals are abandoned as deserted mountains irrespective of their relationship to groundwater and the surrounding environment.

It is hoped that with the continuation of the exploitation process in the Angouran mine, the waste minerals are classified according to their type and element enrichment in a suitable manner

by environmental standards. This could help prevent seepage of toxic elements (As, Cd, Se) to groundwater. Furthermore, the economic elements such as Ag, Cd, Se can be used as byproducts and be sold as raw material for other uses or extracted by using the necessary equipment. This is due to the fact that what is considered to be waste minerals for a mine, can be considered as useful material for another mine, either now or in the future.

Acknowledgements

The authors are grateful for the financial support of the University of Zanjan and the Iran Minerals Production and Supply Company (Angouran lead-zinc mine).

References

- Fallah, M., Nabatian, Gh. and Ghadimi, S., 2019. Introduction of wurtzite mineral as trace metal elements potential in the Angouran Zn-Pb mine. 26th Symposium of Crystallography and Mineralogy of Iran (SCMI), Imam Khomeini International University, Qazvin, Iran. (in Persian with English abstract) Retrieved March 30, 2019 from <http://www.cmsi.ir/UI/ArticleDetails?Lang=fa&ArticleID=2043>
- Ghorbani, M., 2008. Economic geology of natural and mineral resources of Iran. Pars Arian Zamin Publication, Tehran, 570 pp. (in Persian)
- Pirkharrati, H. and Farhadi, Kh., 2014. Investigating the potential of water and soil pollution in the Angouran lead and zinc mine area and providing solutions for crisis management. IMPASCO, Iran, Yazd, Report 1, pp. 55–76. (in Persian)